

Localisation et suivi de la source d'un signal vibratoire



Introduction et cadre de l'étude

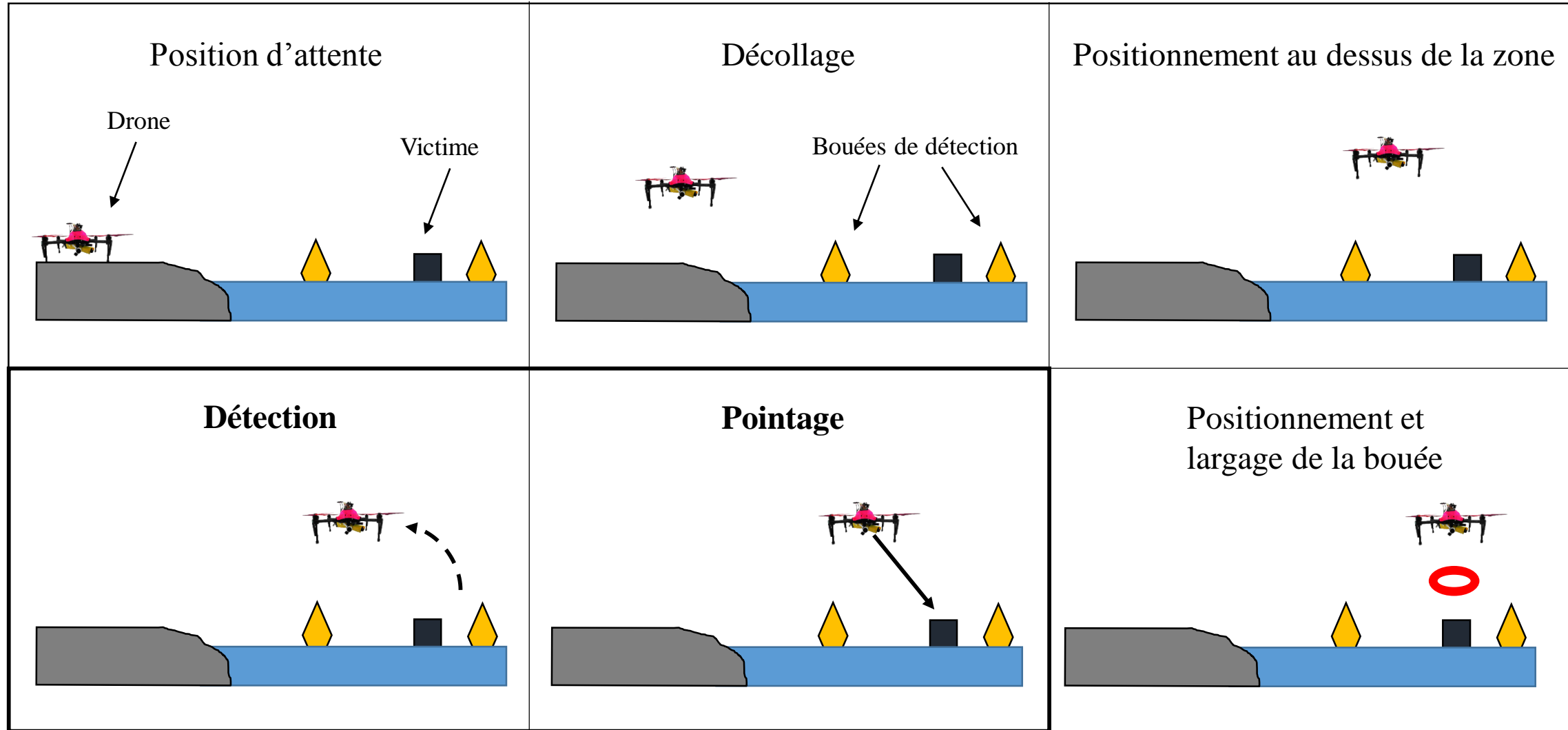
I) Détection d'un signal vibratoire

II) Pointage de la position

Conclusion

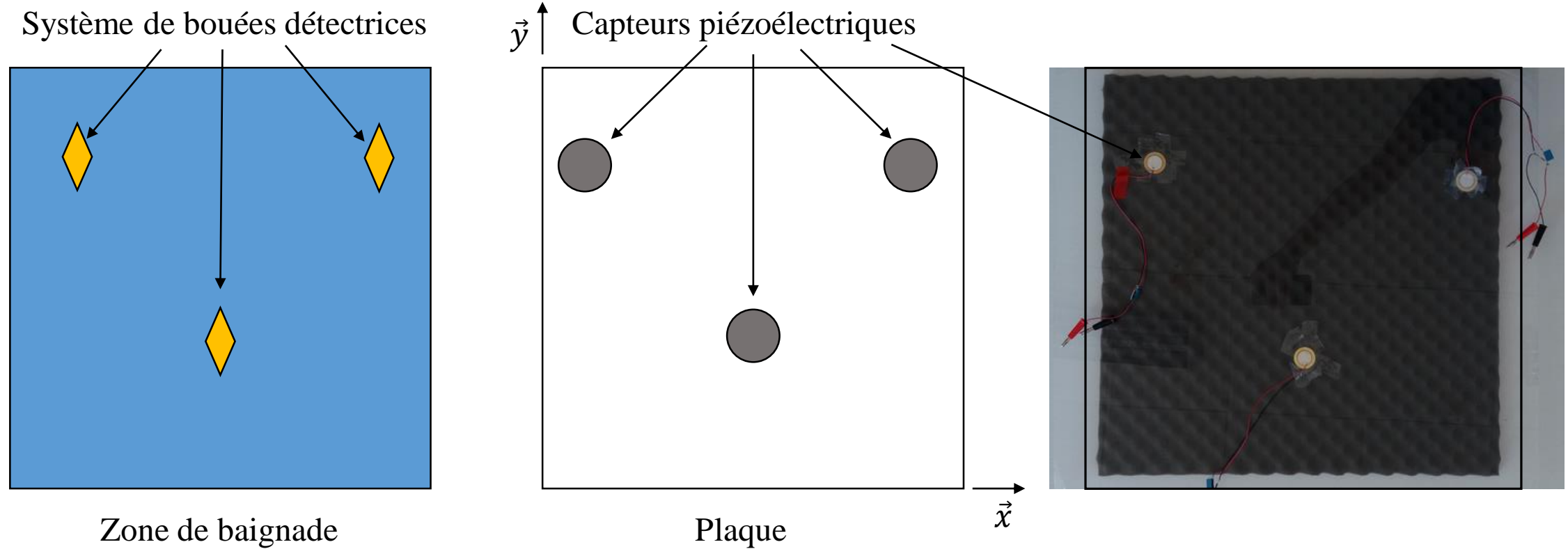
Problématique : Comment localiser la source d'un signal et la pointer avec une précision optimale ?

Introduction et cadre de l'étude : Schéma de principe



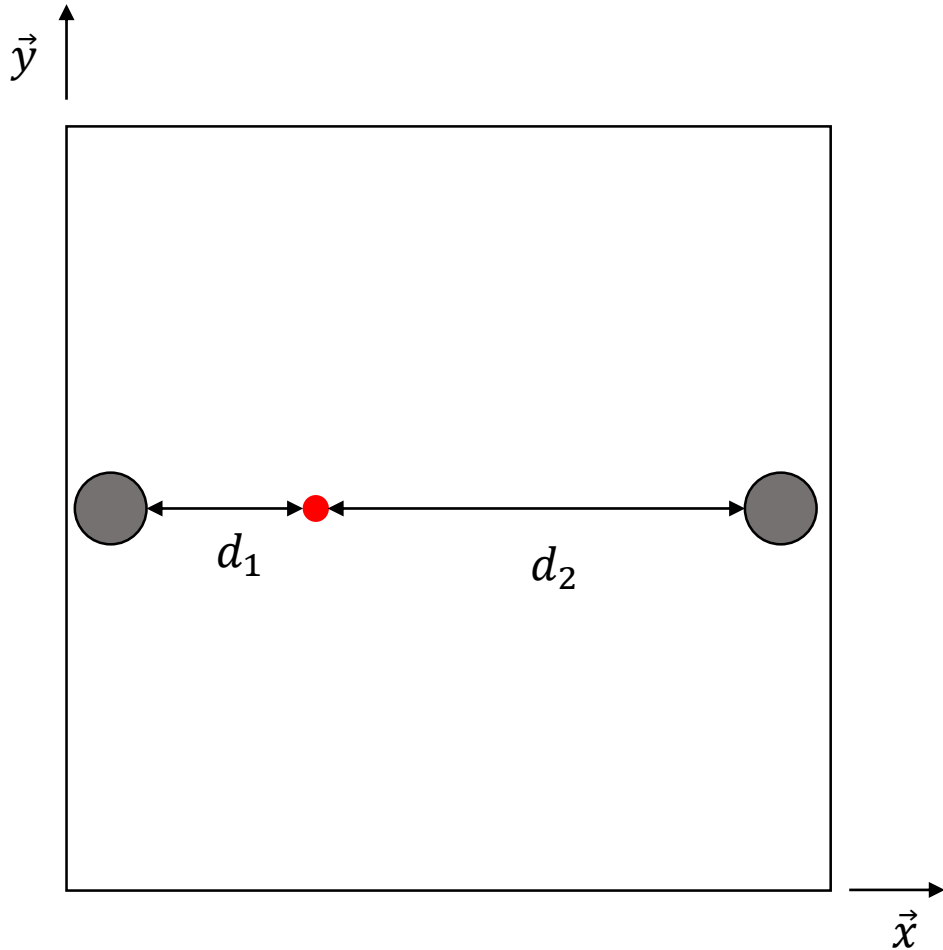
Cadre de l'étude

I) Détection d'un signal vibratoire : Modélisation



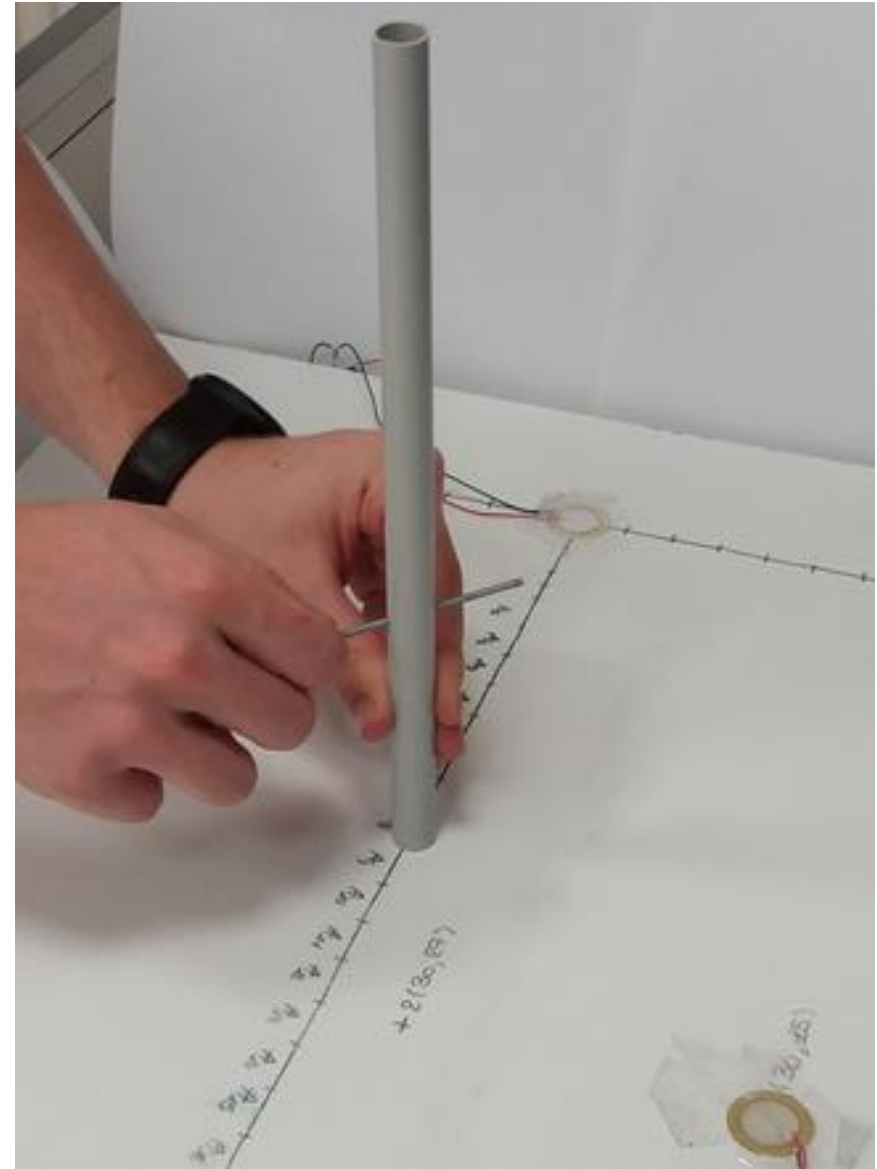
Signal de détresse $\xrightarrow{\text{Traitement}}$ Localisation

I) Détection d'un signal vibratoire : Vitesse dans le solide (étude 1D)

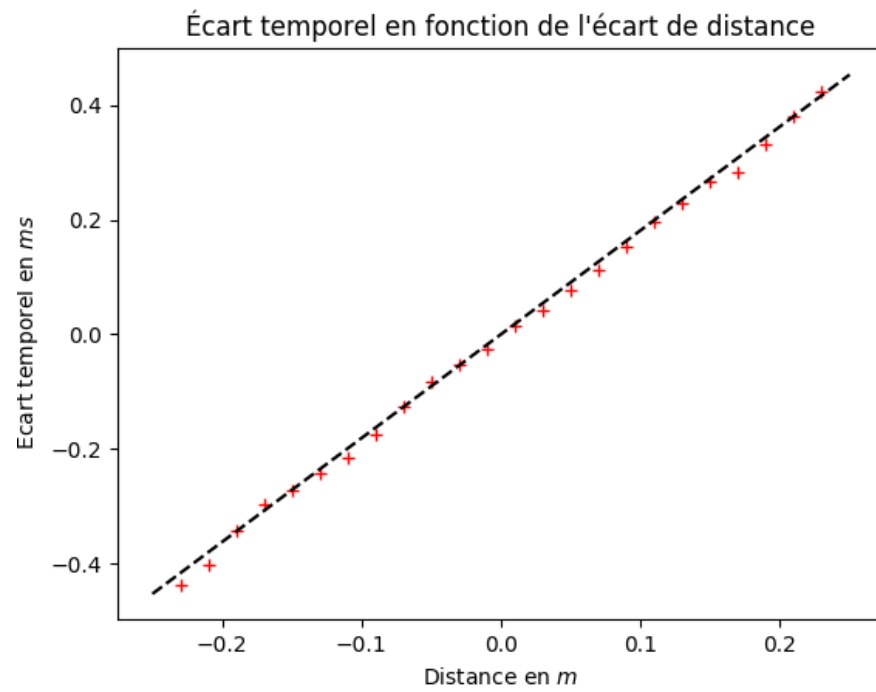
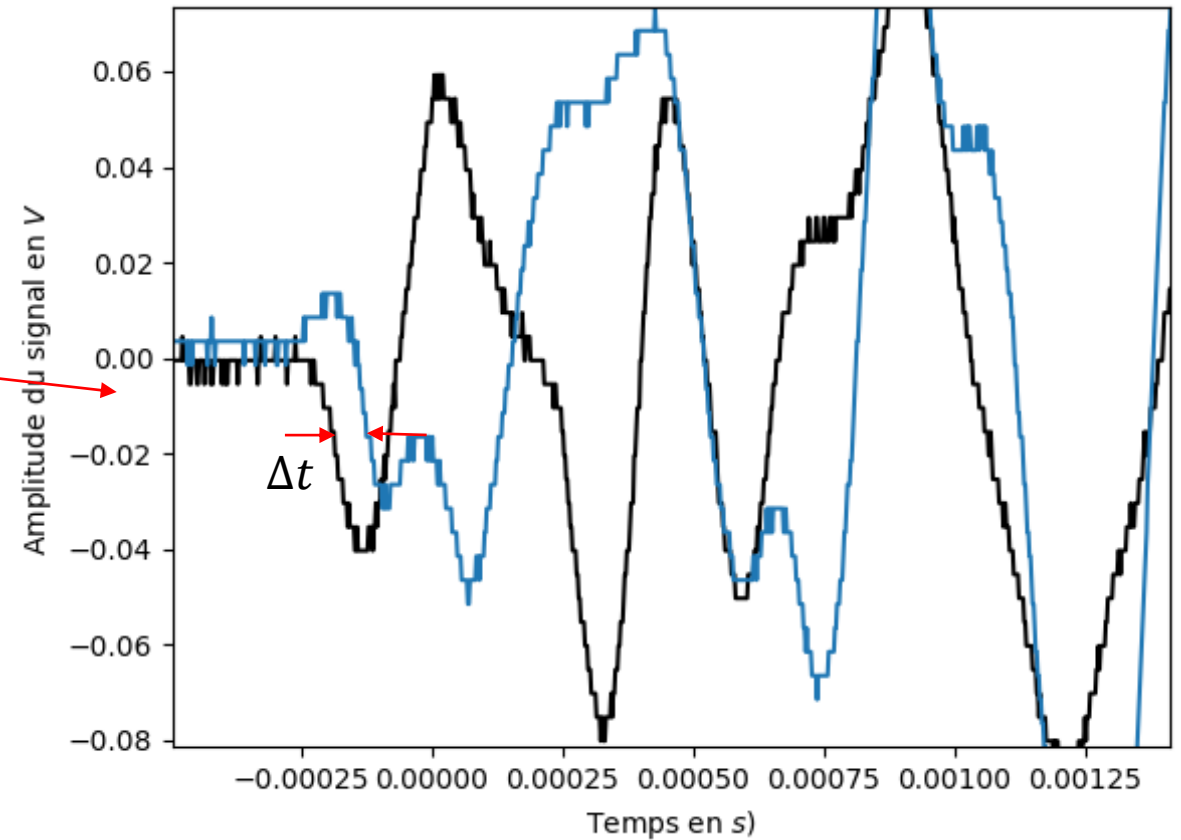
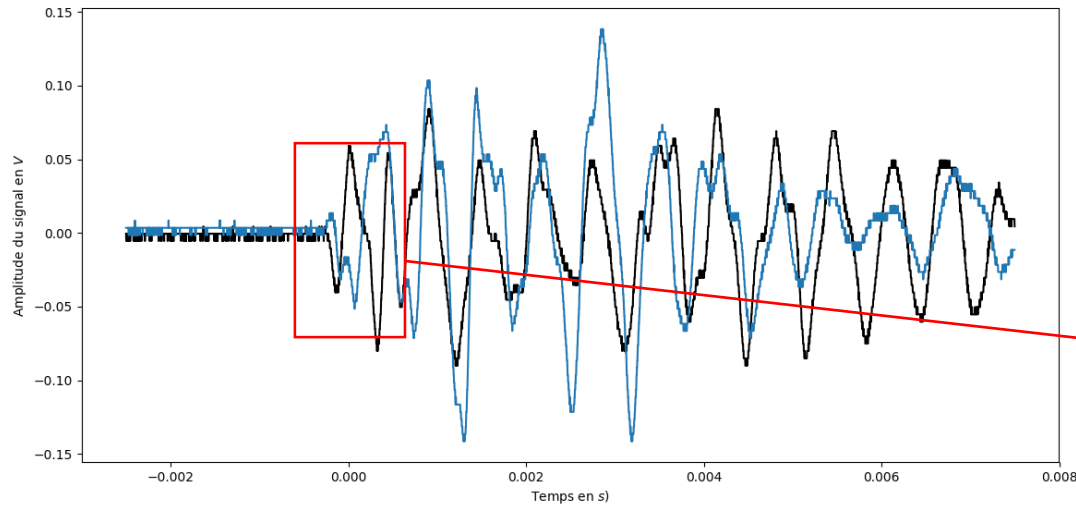


$$\Delta x = d_1 - d_2$$

$$V = \frac{\Delta x}{\Delta t}$$



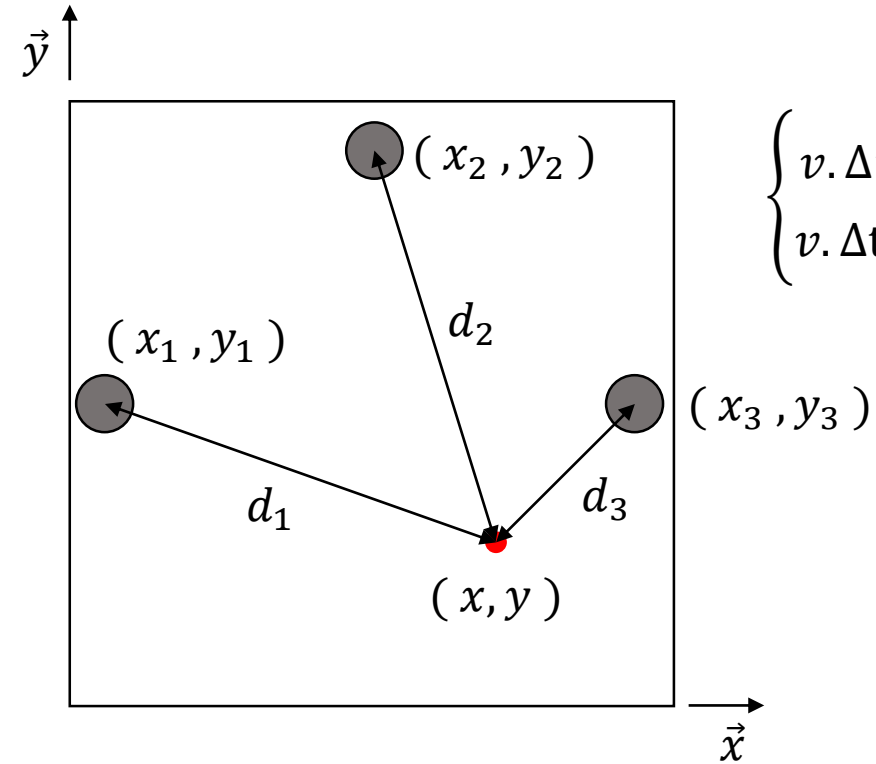
I) Détection d'un signal vibratoire : Vitesse dans le solide (étude 1D)



$$V = \frac{\Delta x}{\Delta t}$$

	Bois	Plexiglas
Vitesse en m.s ⁻¹	552 ± 19	368 ± 12

I) Détection d'un signal vibratoire : Étude en 2D

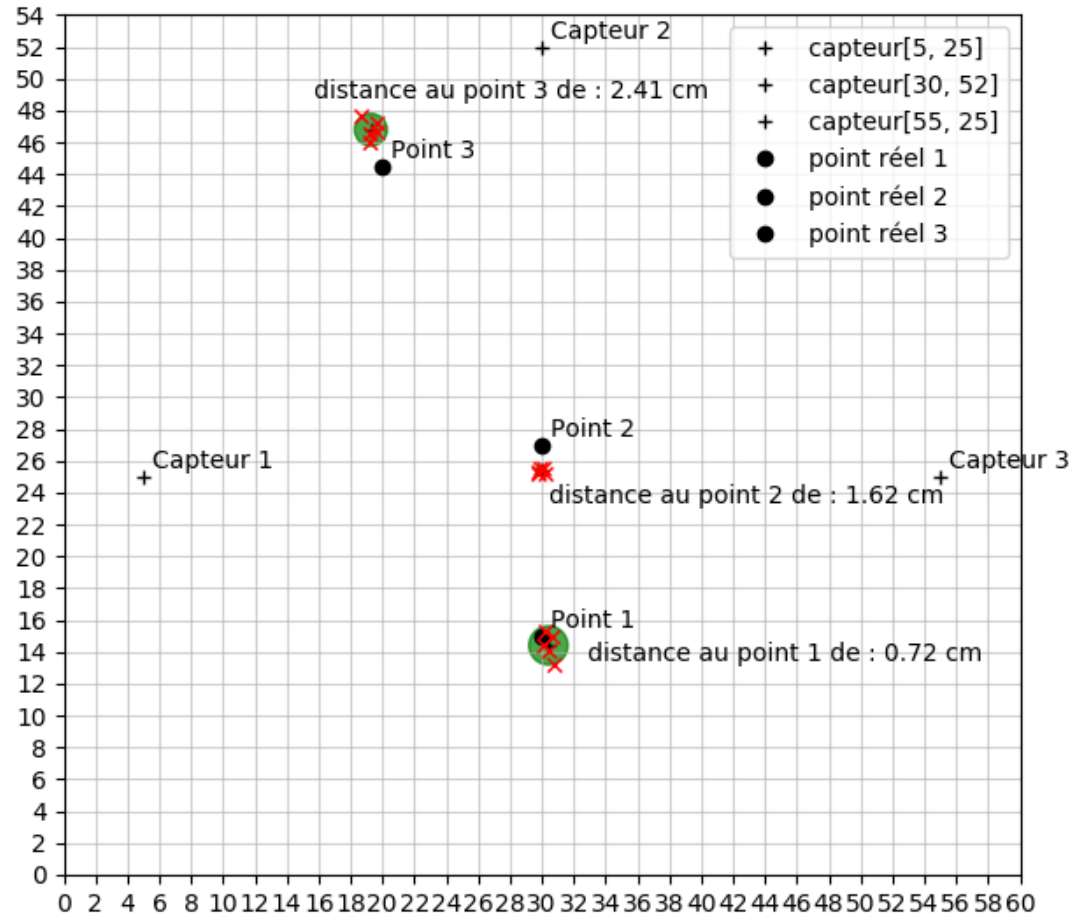


$$\begin{cases} v \cdot \Delta t_{21} = \Delta d_{21} = d_2 - d_1 = \sqrt{(x - x_2)^2 + (y - y_2)^2} - \sqrt{(x - x_1)^2 + (y - y_1)^2} \\ v \cdot \Delta t_{31} = \Delta d_{31} = d_3 - d_1 = \sqrt{(x - x_3)^2 + (y - y_3)^2} - \sqrt{(x - x_1)^2 + (y - y_1)^2} \end{cases}$$

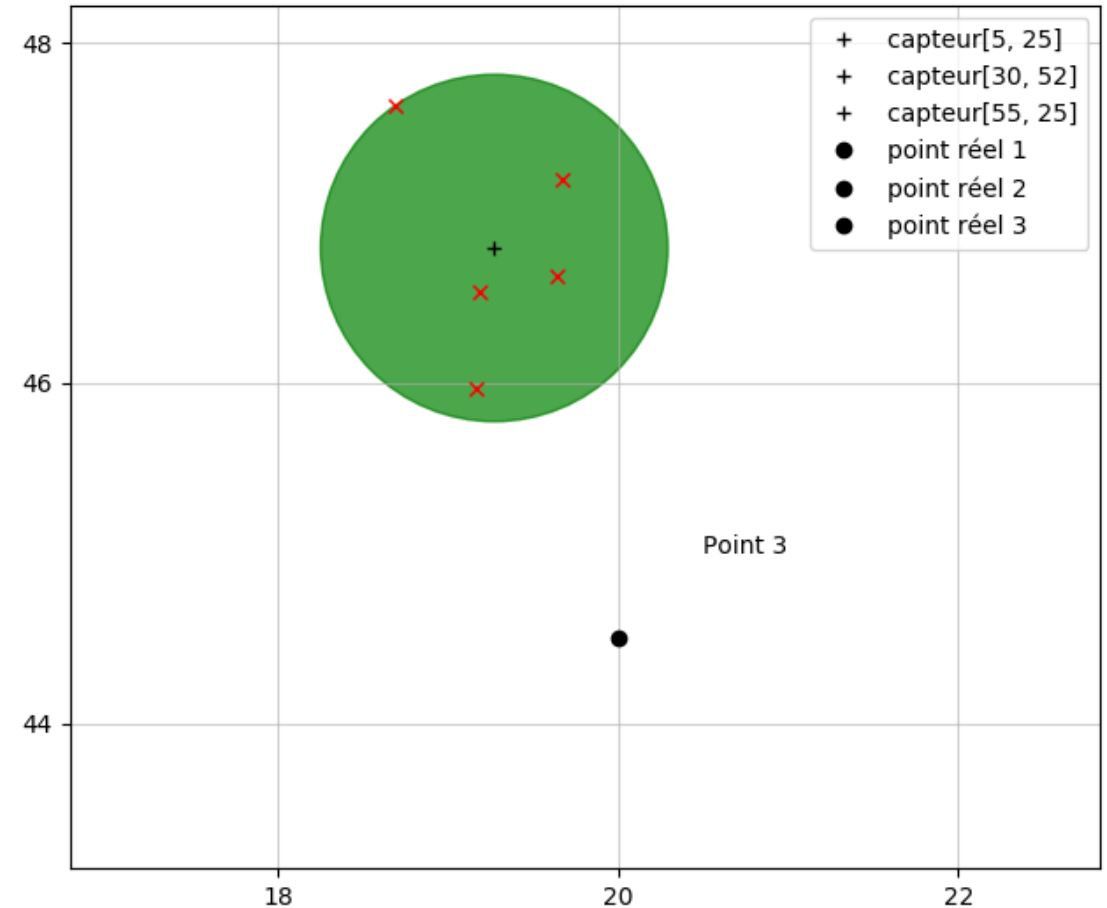
Programme Python: Résolution numérique
Utilisation de la fonction **scipy.optimize.fsolve()**

$[x, y]$

I) Détection d'un signal vibratoire : Résultats et limites de l'étude

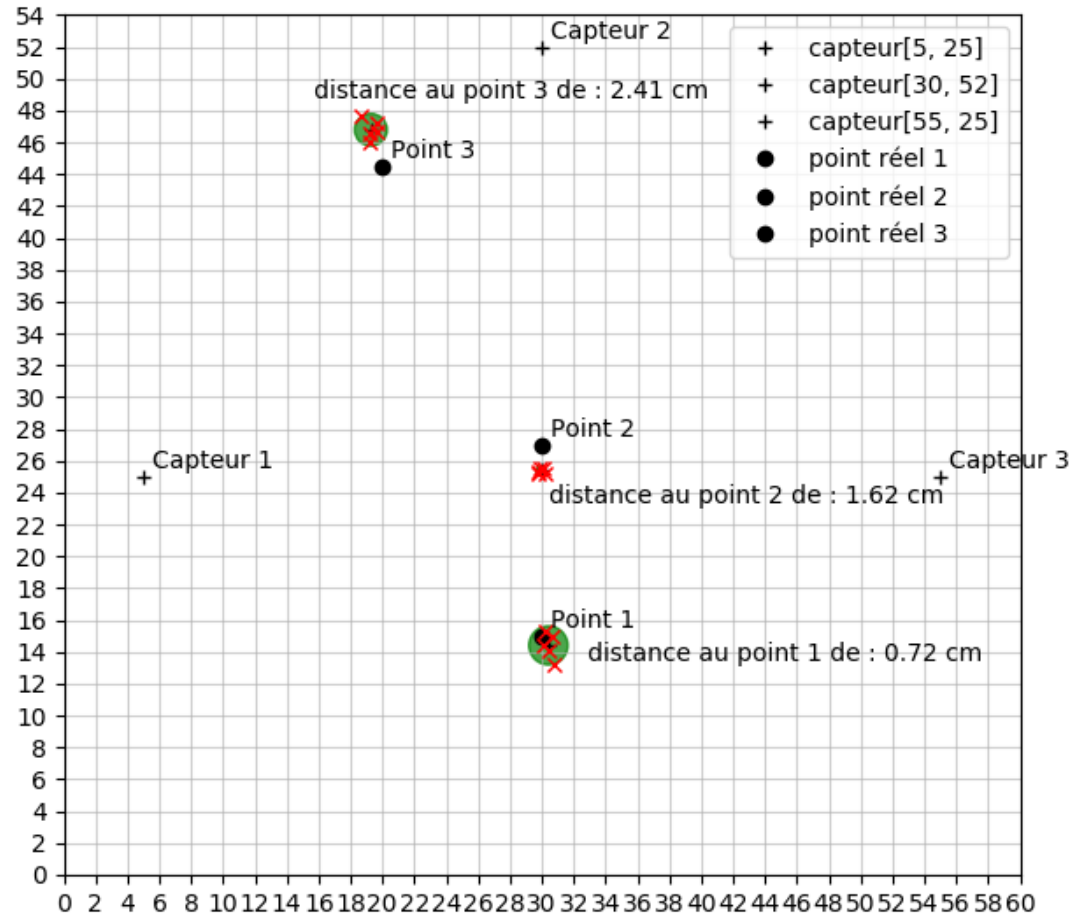


Résultat détection pour le bois

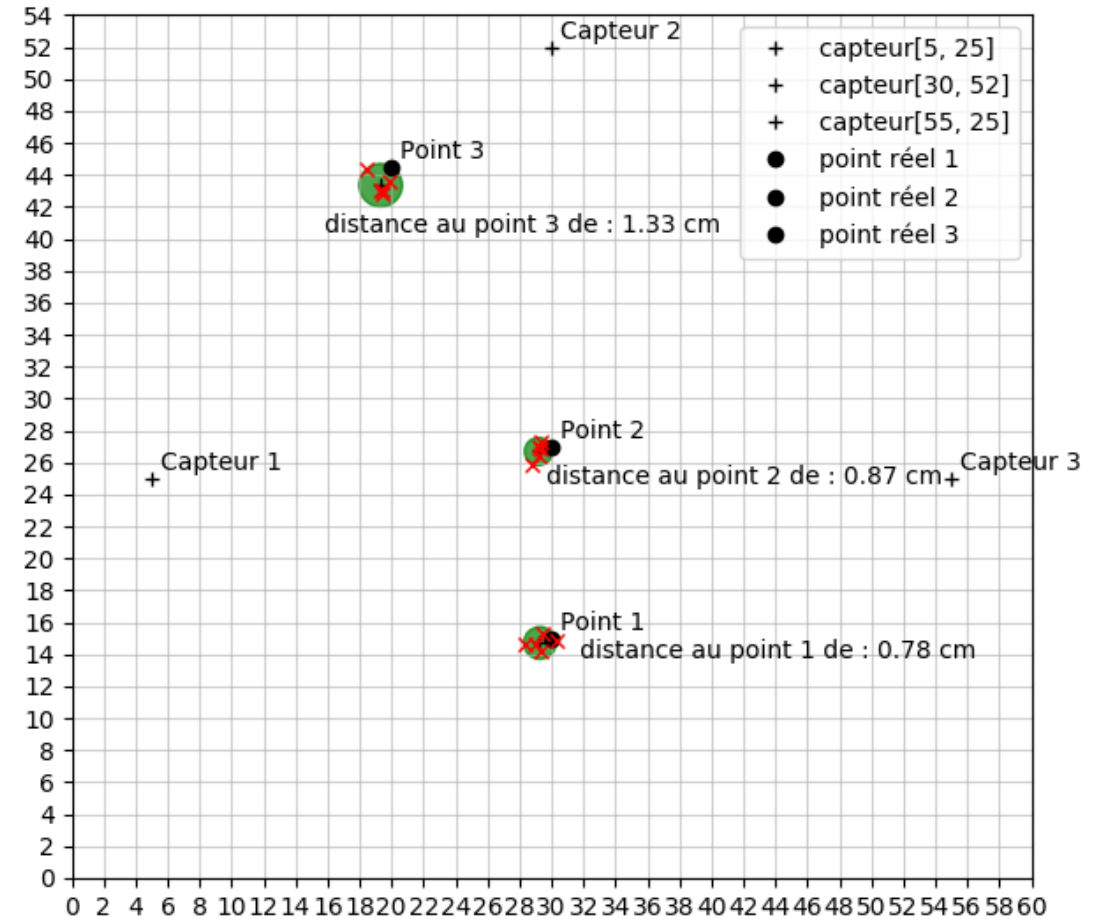


Résultat détection pour le point 3

I) Détection d'un signal vibratoire : Résultats et limites de l'étude

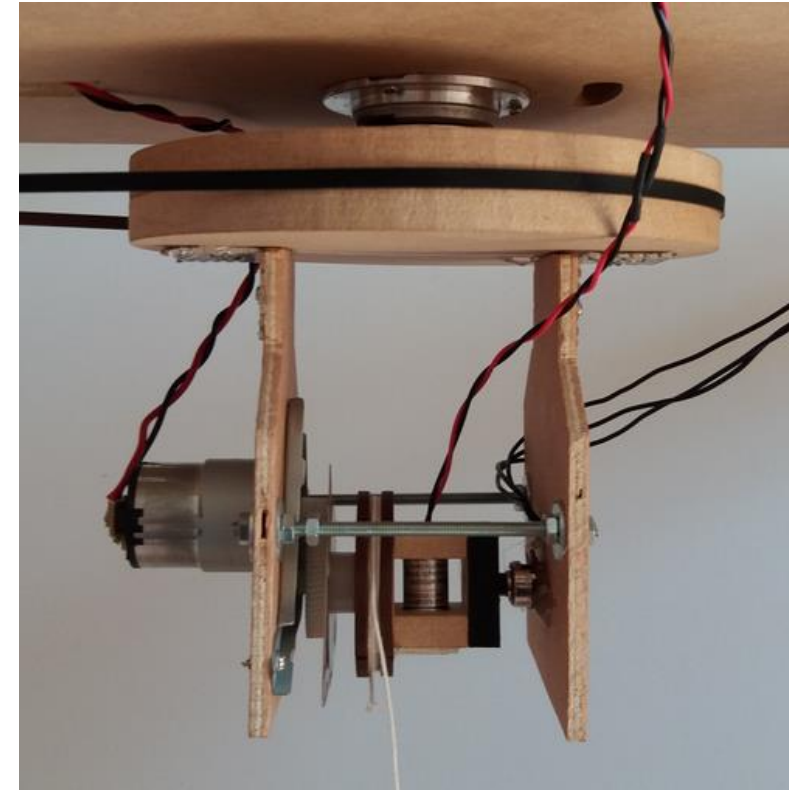
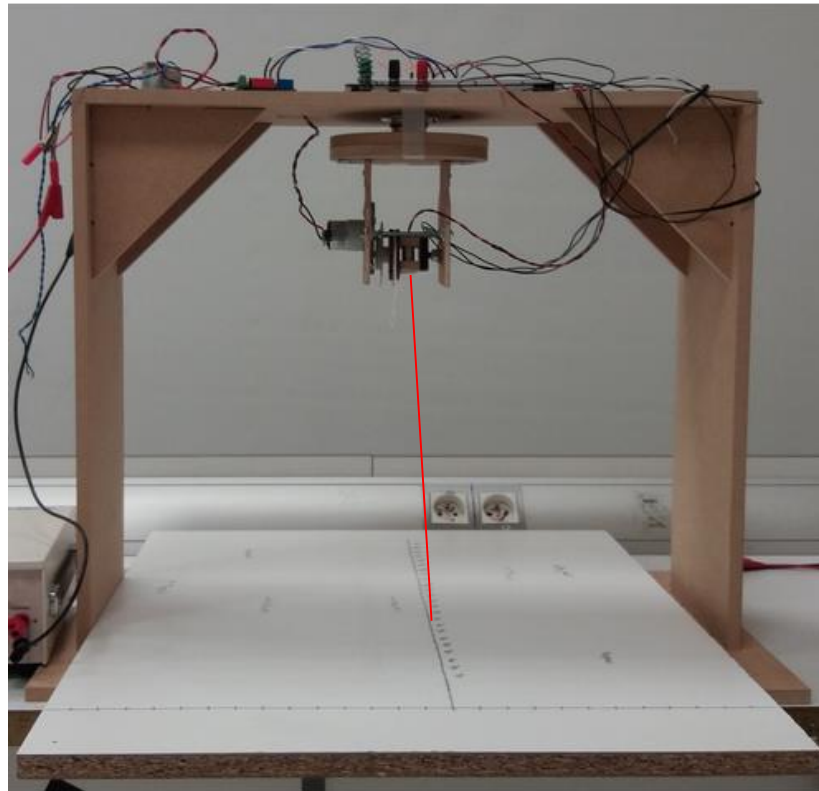
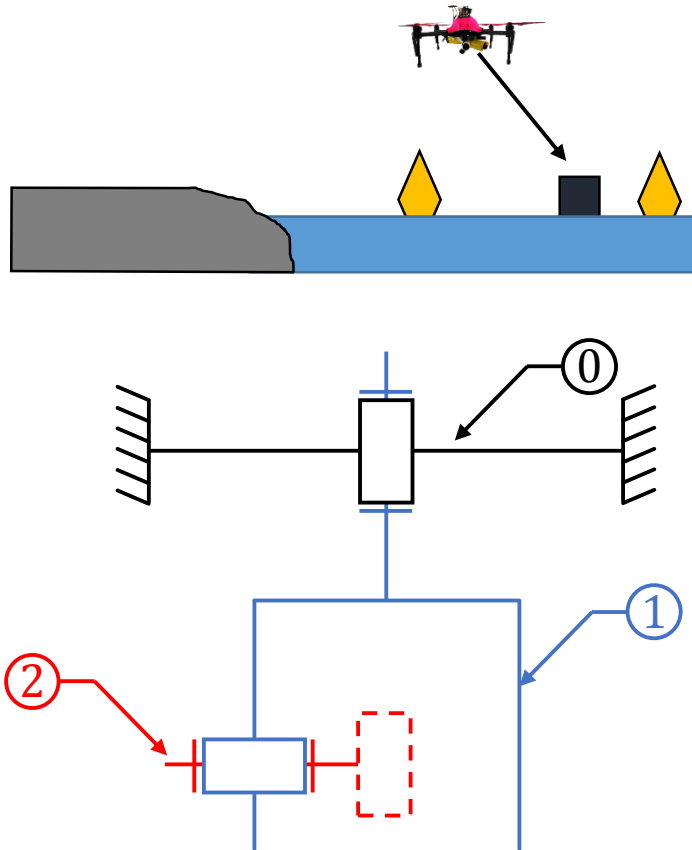


Résultat détection pour le bois



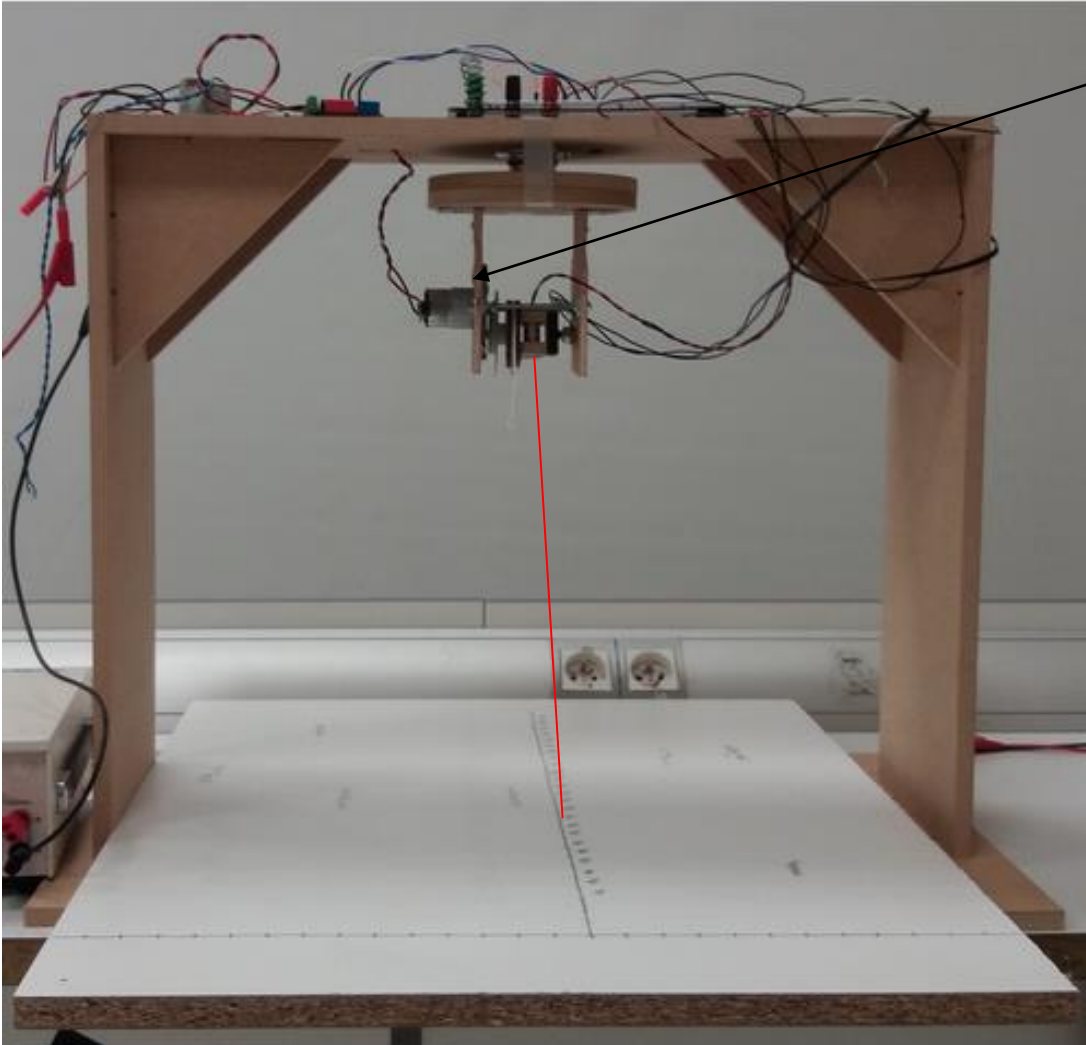
Résultat détection pour le Plexiglas

Pointage de la position: Modélisation



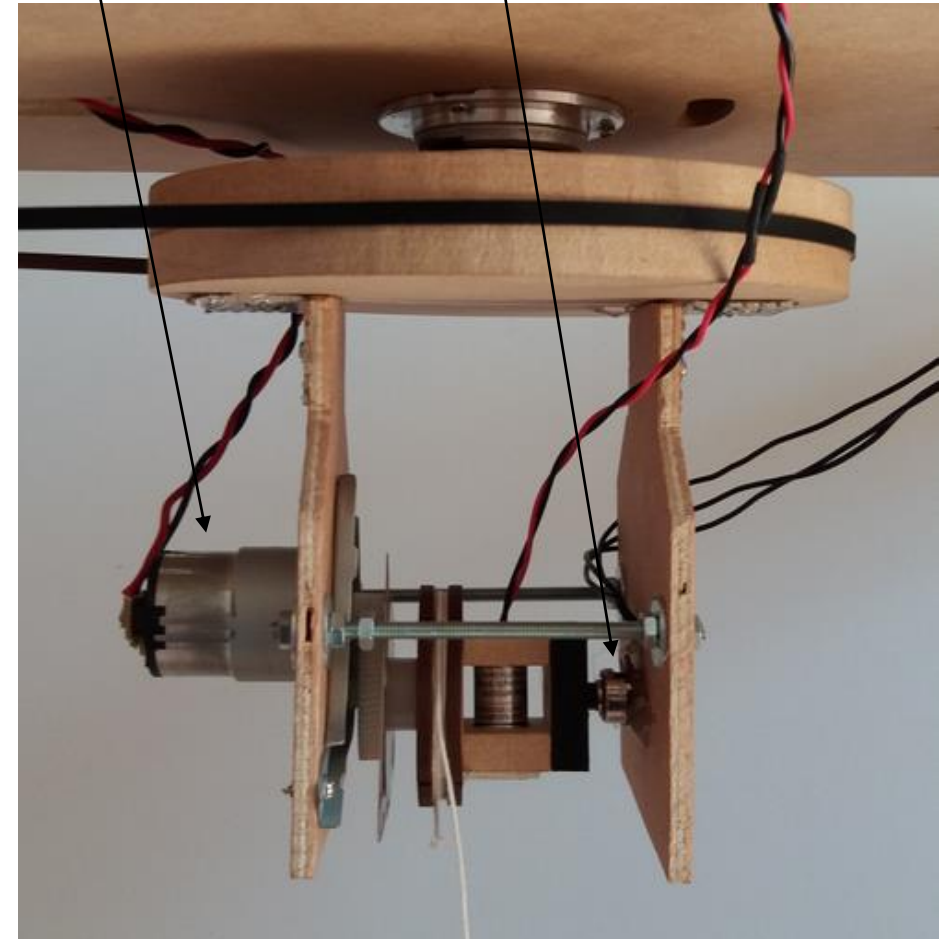
Signal de détresse $\xrightarrow{\text{Traitement}}$ Localisation $\overset{\text{---}}{\curvearrowright}$ Position calculée $\xrightarrow{\text{Asservissement}}$ Point de largage

II) Pointage de la position : Principe



Moteur

Potentiomètre



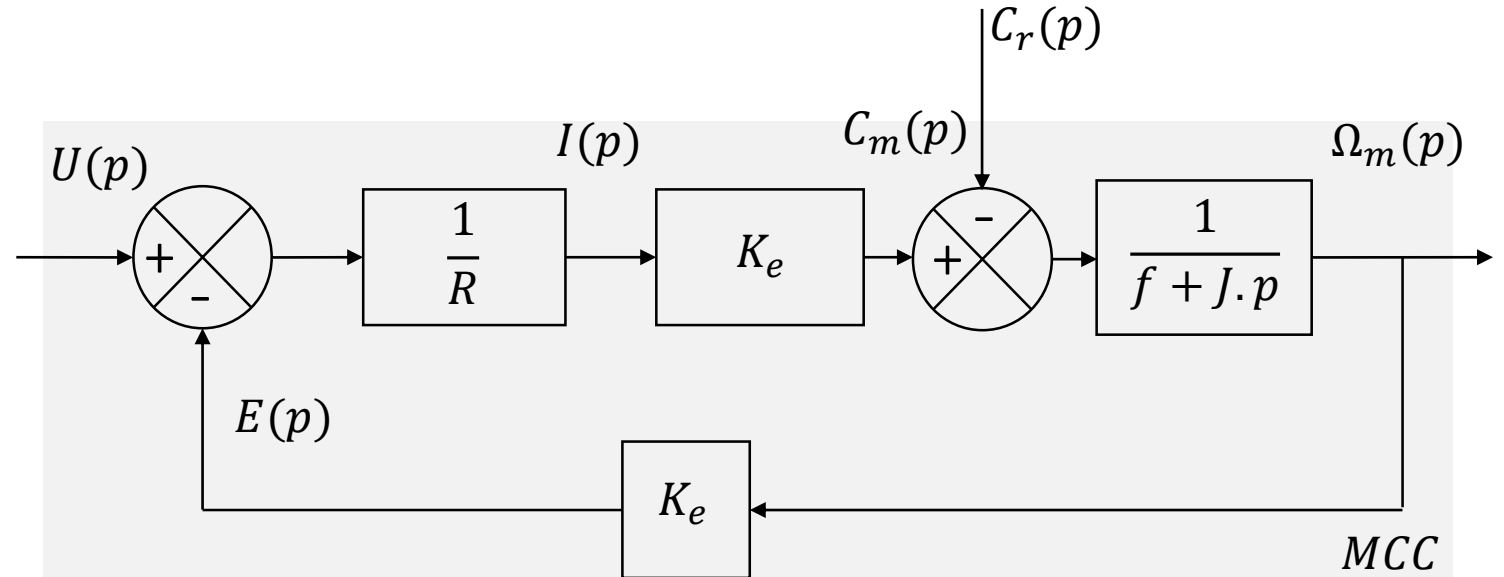
II) Pointage de la position : Détermination des caractéristiques du moteur

Équations du moteur à courant continu

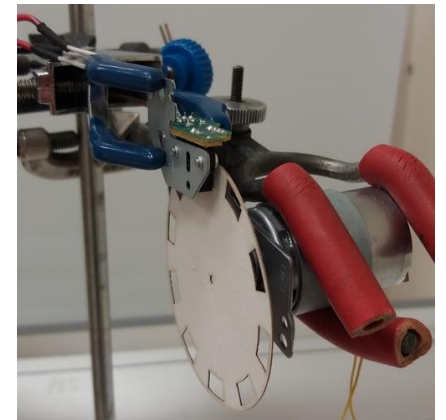
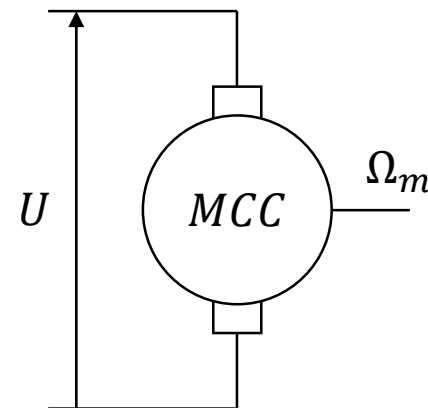
Schéma bloc du moteur à courant continu

$$\begin{cases} U(p) = E(p) + R \cdot I(p) + L \cdot p \cdot I(p) \\ (Jp + f) \cdot \Omega_m(p) = C_m(p) - C_r(p) \\ E(p) = K_e \cdot \Omega_m(p) \\ C_m(p) = K_e \cdot I(p) \end{cases}$$

Négligé

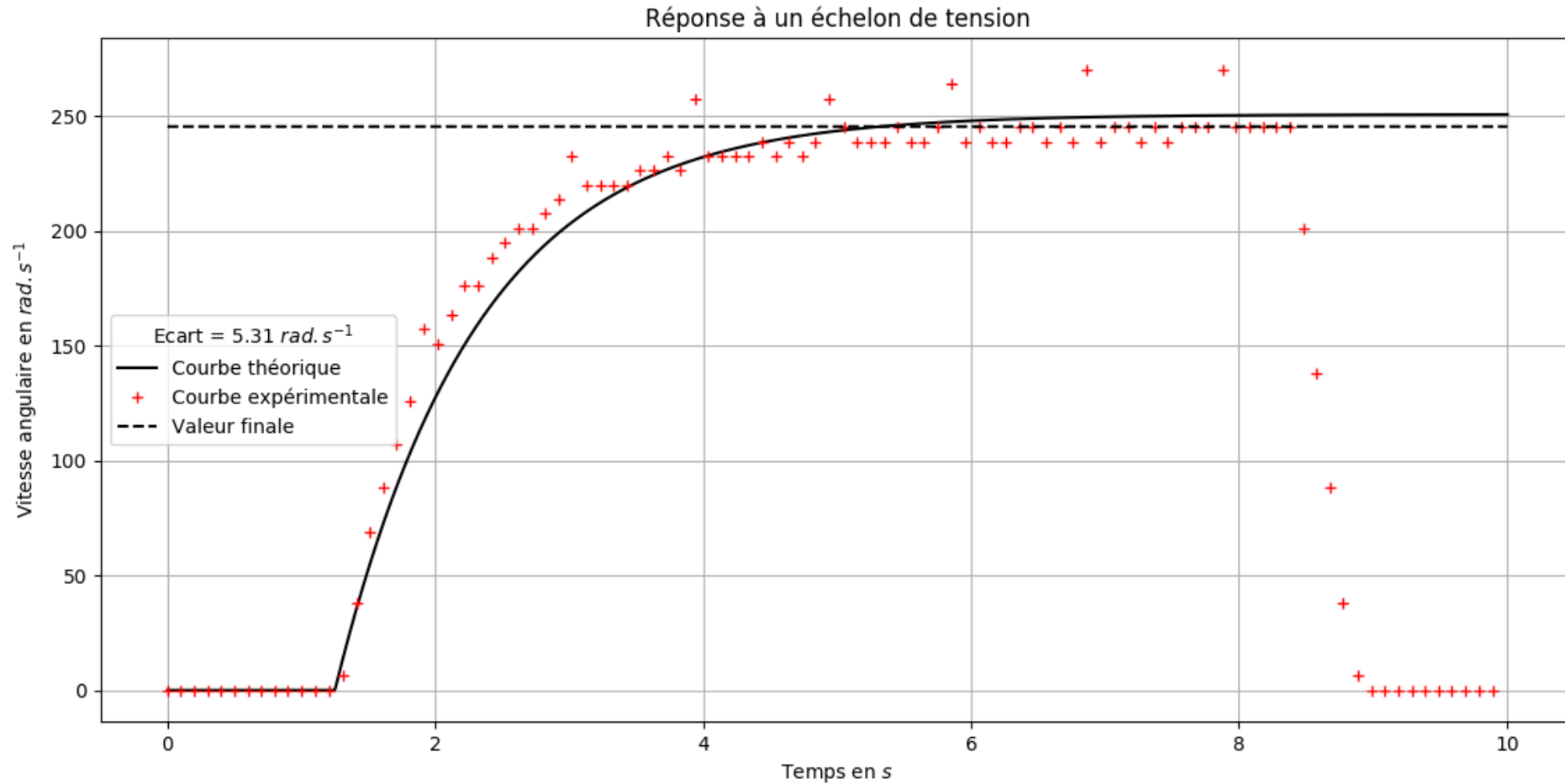


$$\begin{cases} K_e = 7,68 \cdot 10^{-3} \pm 0,2 \cdot 10^{-3} \text{ V.s.rad}^{-1} & \text{Essai en génératrice} \\ R = 8,46 \pm 0,02 \, \Omega & \text{Essai rotor bloqué} \\ f = 1,74 \cdot 10^{-5} \pm 0,05 \cdot 10^{-5} \text{ N.m.rad}^{-1}.s & \text{Essai moteur} \\ J = 2,57 \cdot 10^{-5} \pm 0,06 \cdot 10^{-5} \text{ kg.m}^2 & \text{Essai moteur (échelon)} \\ C_r = ? \end{cases}$$



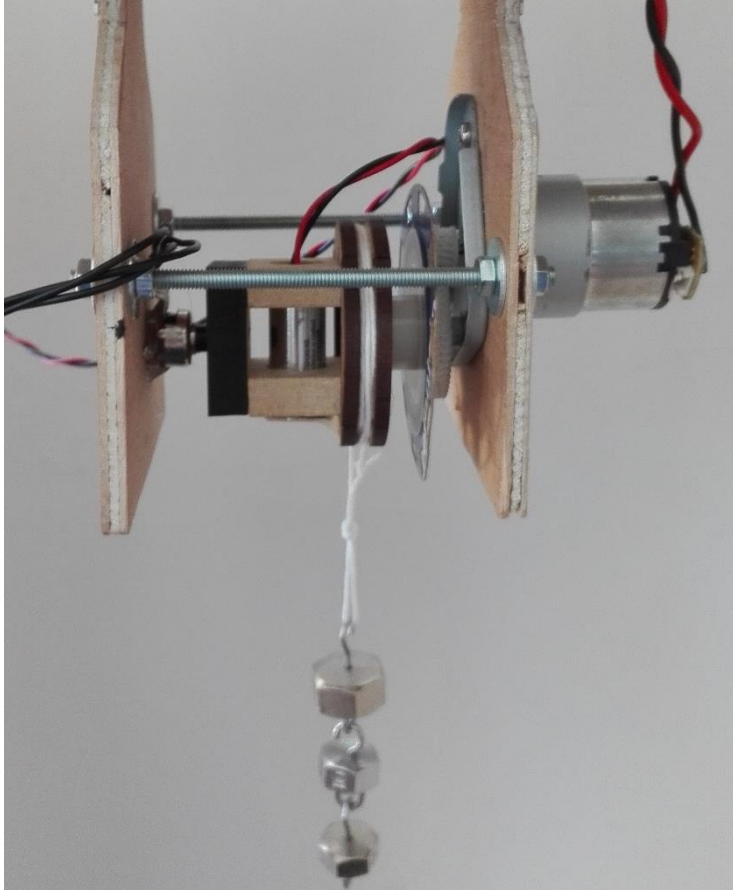
II) Pointage de la position : Détermination des caractéristiques du moteur

Détermination de C_r

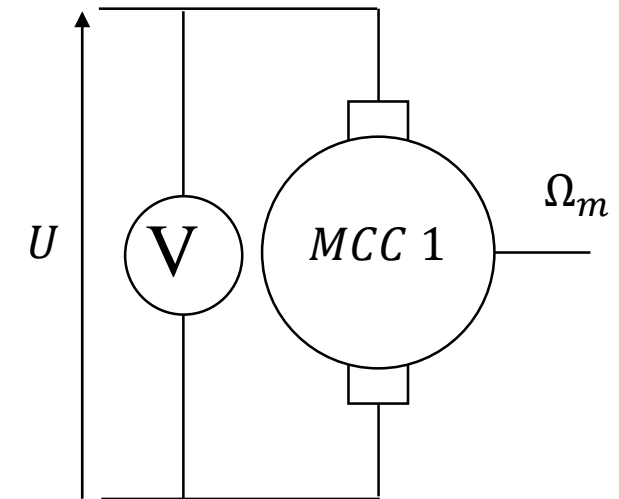
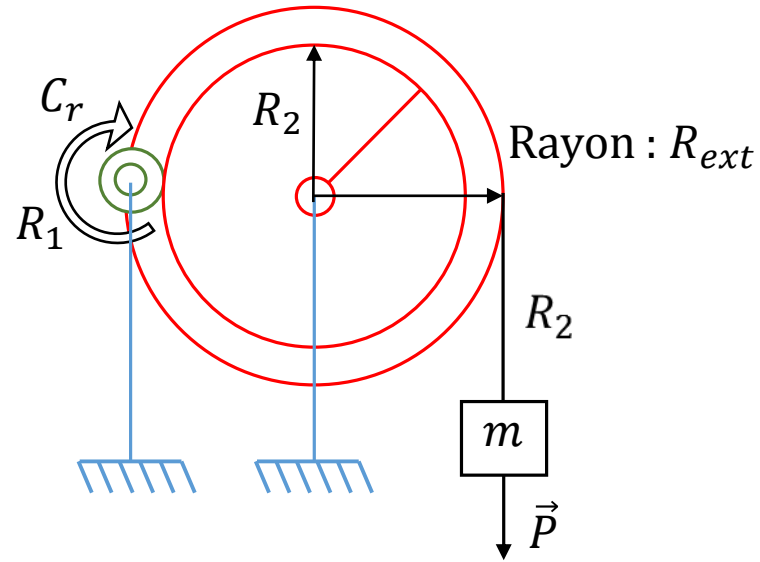


$$C_r(p) = \left(\Omega_m(p) \right)_{C_r(p)=0} - \Omega_m(p) \cdot \frac{R \cdot f + K_e^2}{R} = 1,29 \cdot 10^{-4} \text{ N.m}$$

II) Pointage de la position : Détermination des caractéristiques du moteur



Détermination de C_r



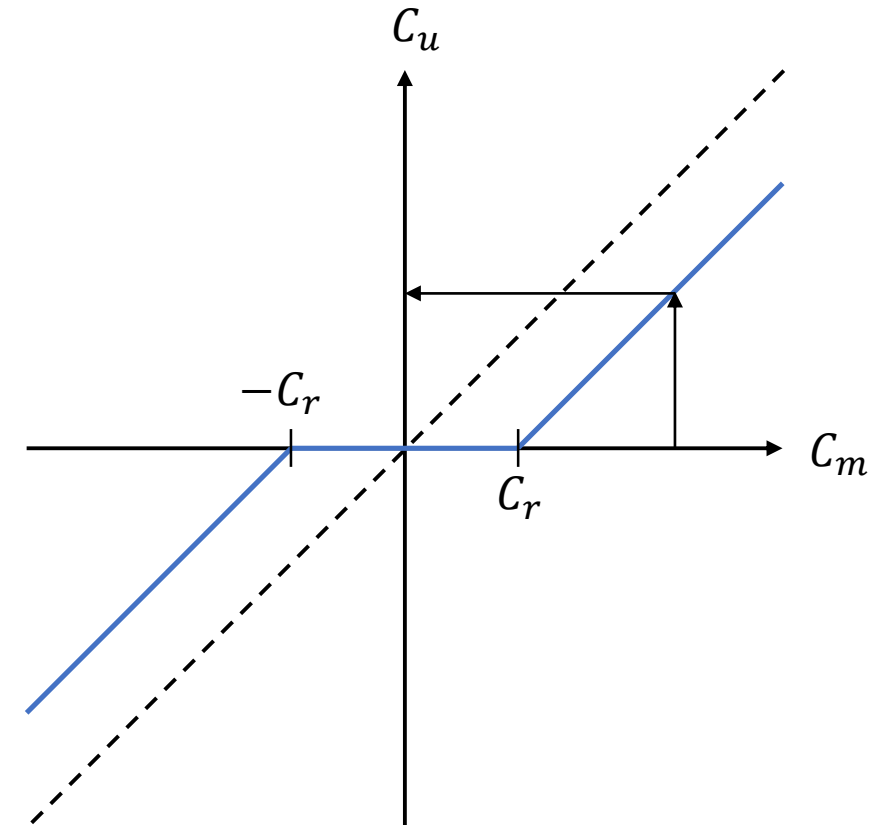
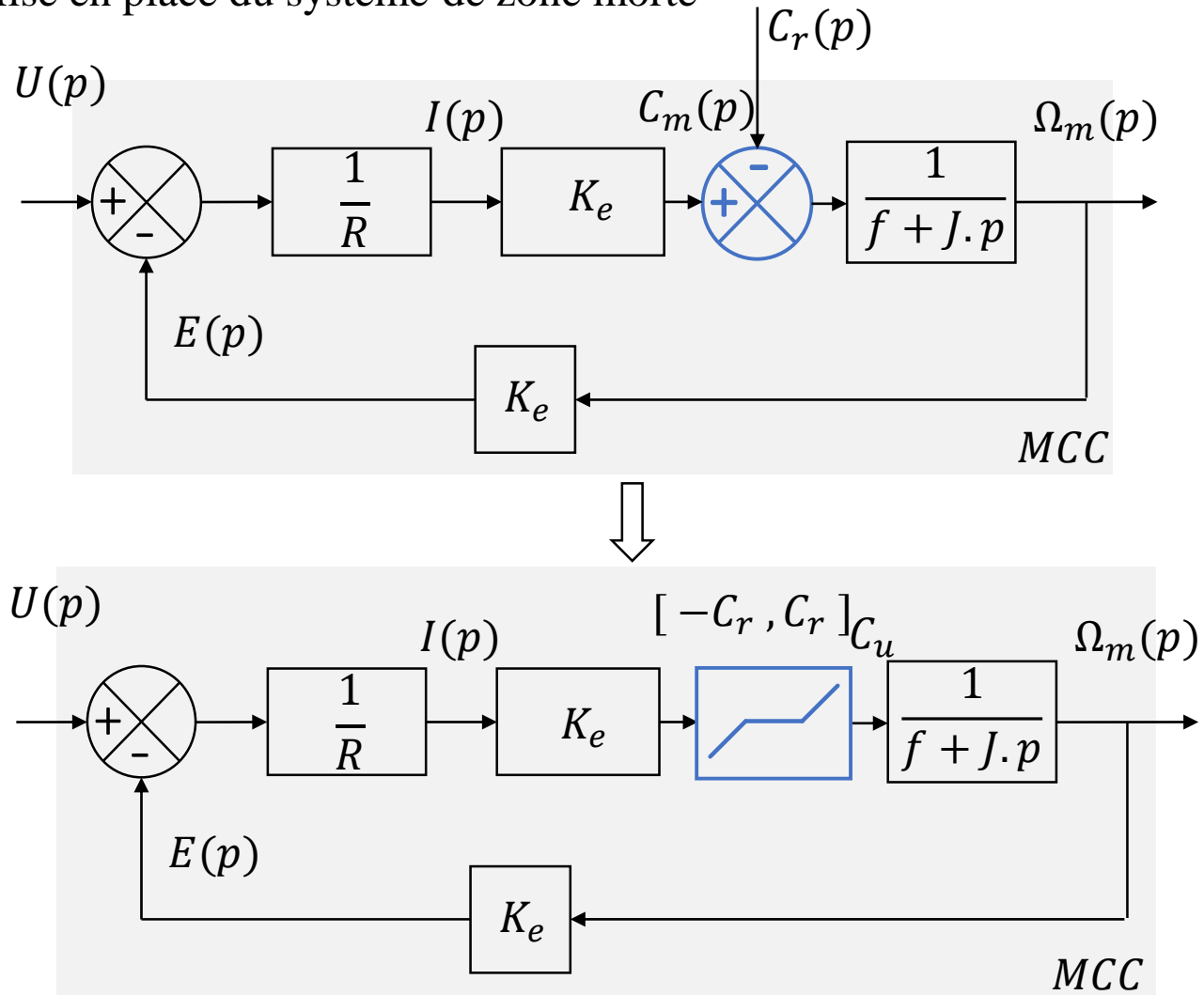
$$C_r = K_{red} \cdot R_{ext} \cdot m \cdot g = 1,17 \cdot 10^{-3} \text{ N.m}$$

$$C_r = \frac{K_e}{R} \cdot U = 1,044 \cdot 10^{-3} \text{ N.m}$$

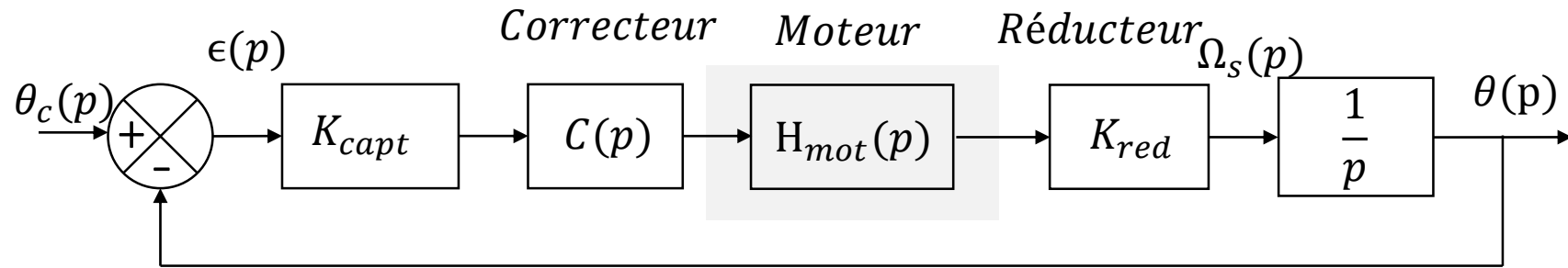
$$\text{avec } U = 1,15 \text{ V}$$

II) Pointage de la position : Détermination des caractéristiques du moteur

Mise en place du système de zone morte



II) Pointage de la position : Asservissement



Manque de robustesse

Réponse sans correction simulée

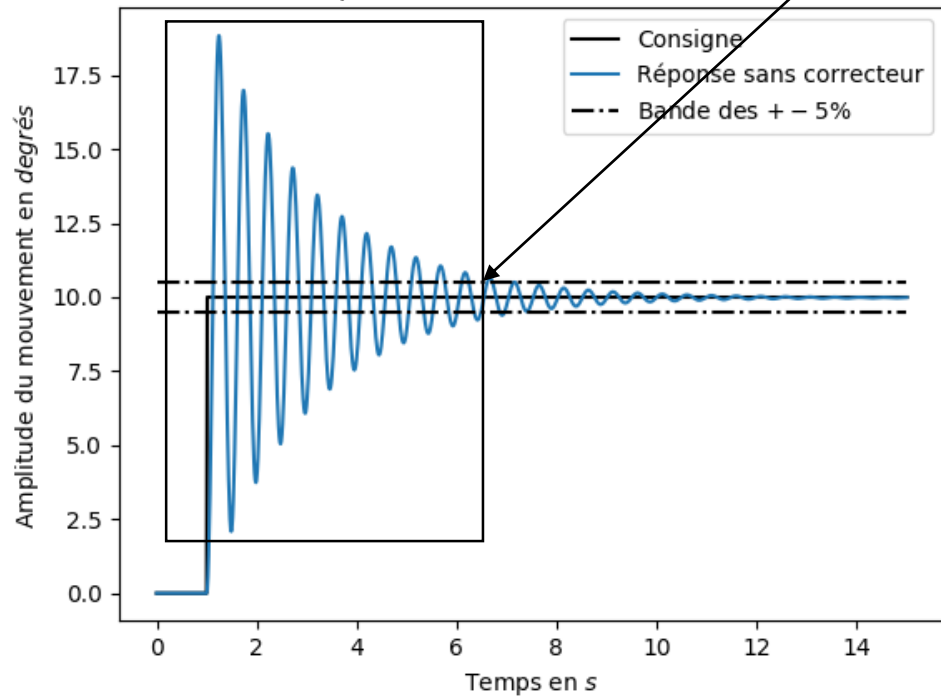
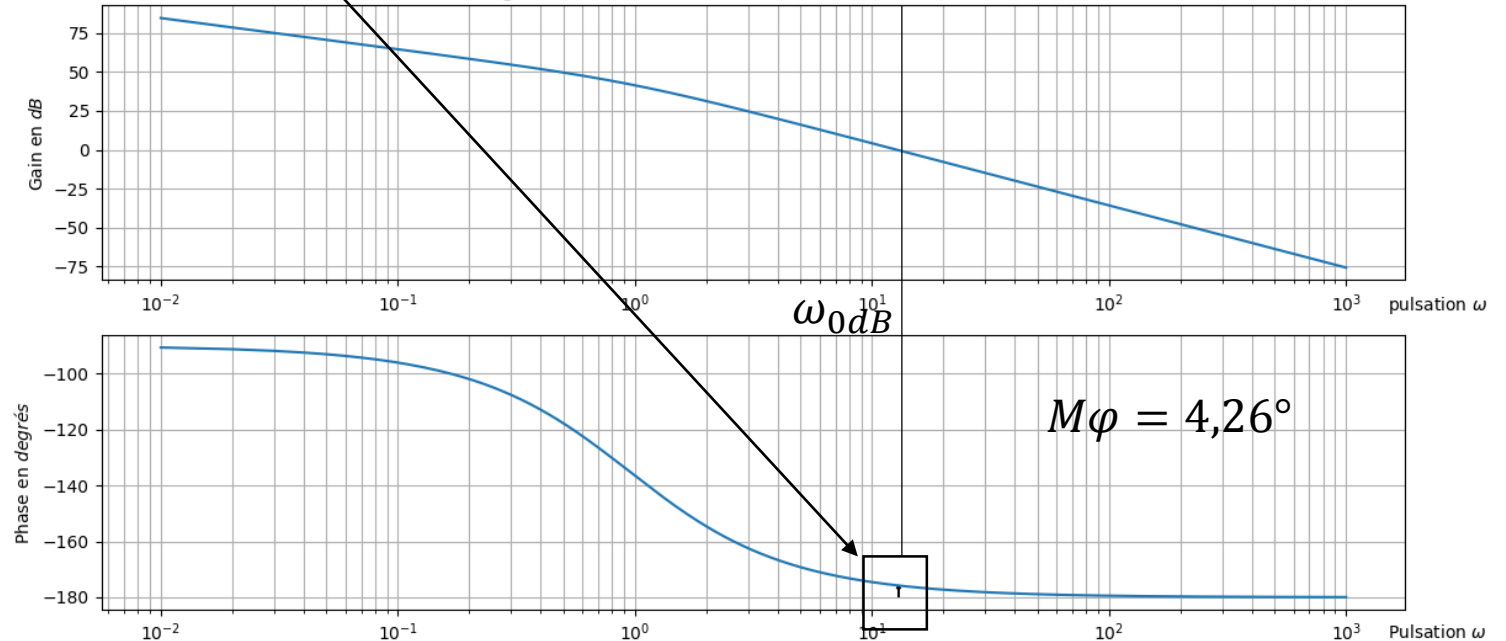


Diagramme de Bode sans correction en Boucle Ouverte



II) Pointage de la position : Mise en place de la correction

Diagramme de Bode correction proportionnelle seule en Boucle Ouverte

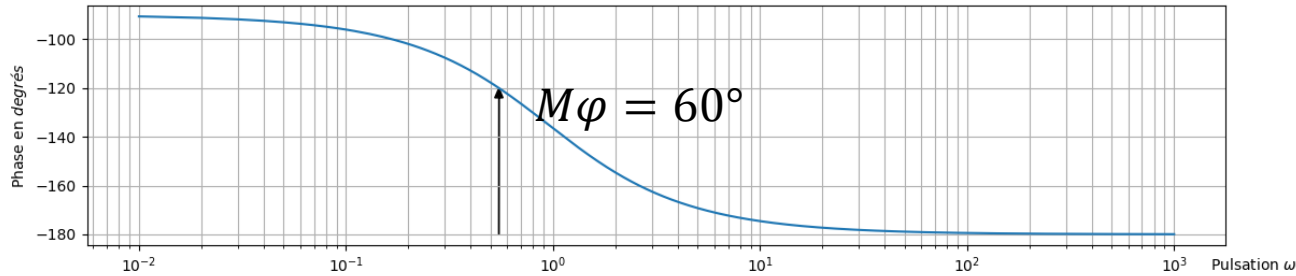
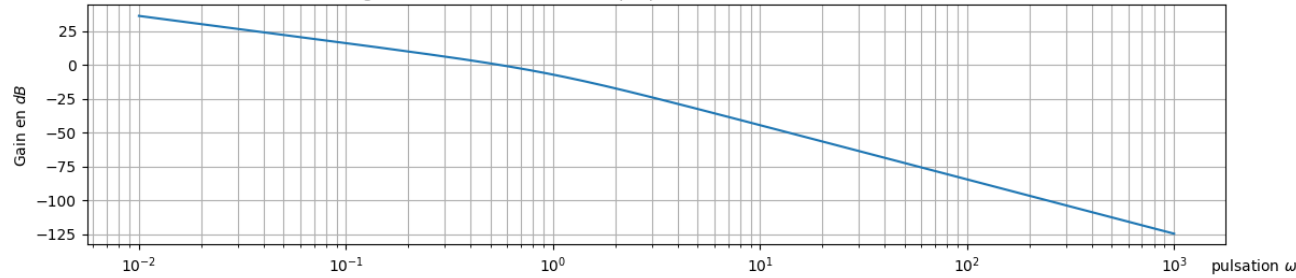
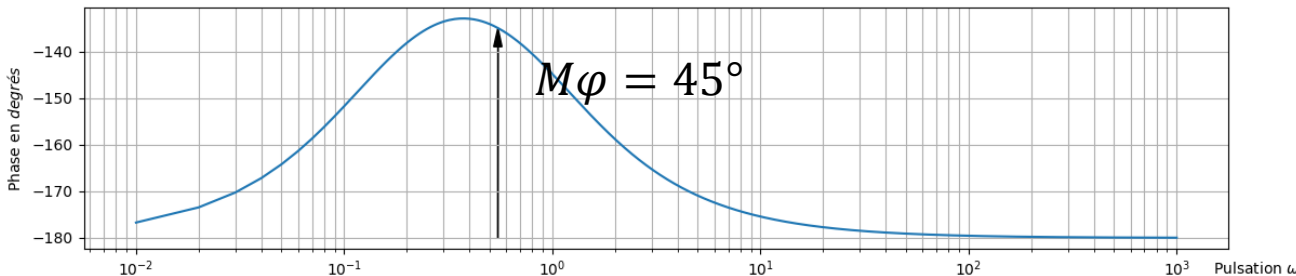
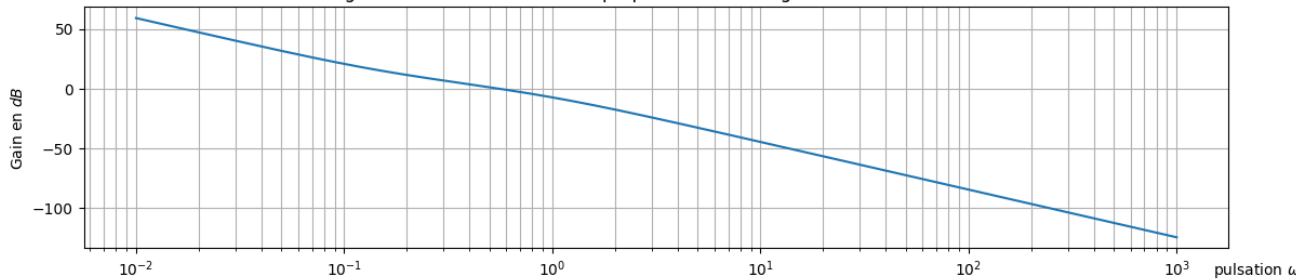


Diagramme de Bode correction proportionnelle-intégrale en Boucle Ouverte



Choix d'un correcteur PI:

$$C(p) = K_i \cdot \left(1 + \frac{1}{\tau_i \cdot p}\right)$$

$$M\varphi_{pc} = \arg(H_{nc}(j\omega_{0dB})) + 180^\circ$$

$$M\varphi_{pc} \in [50^\circ; 75^\circ]$$

$$\omega_{0db} \in [0,254; 0,797] \text{ rad.s}^{-1}$$

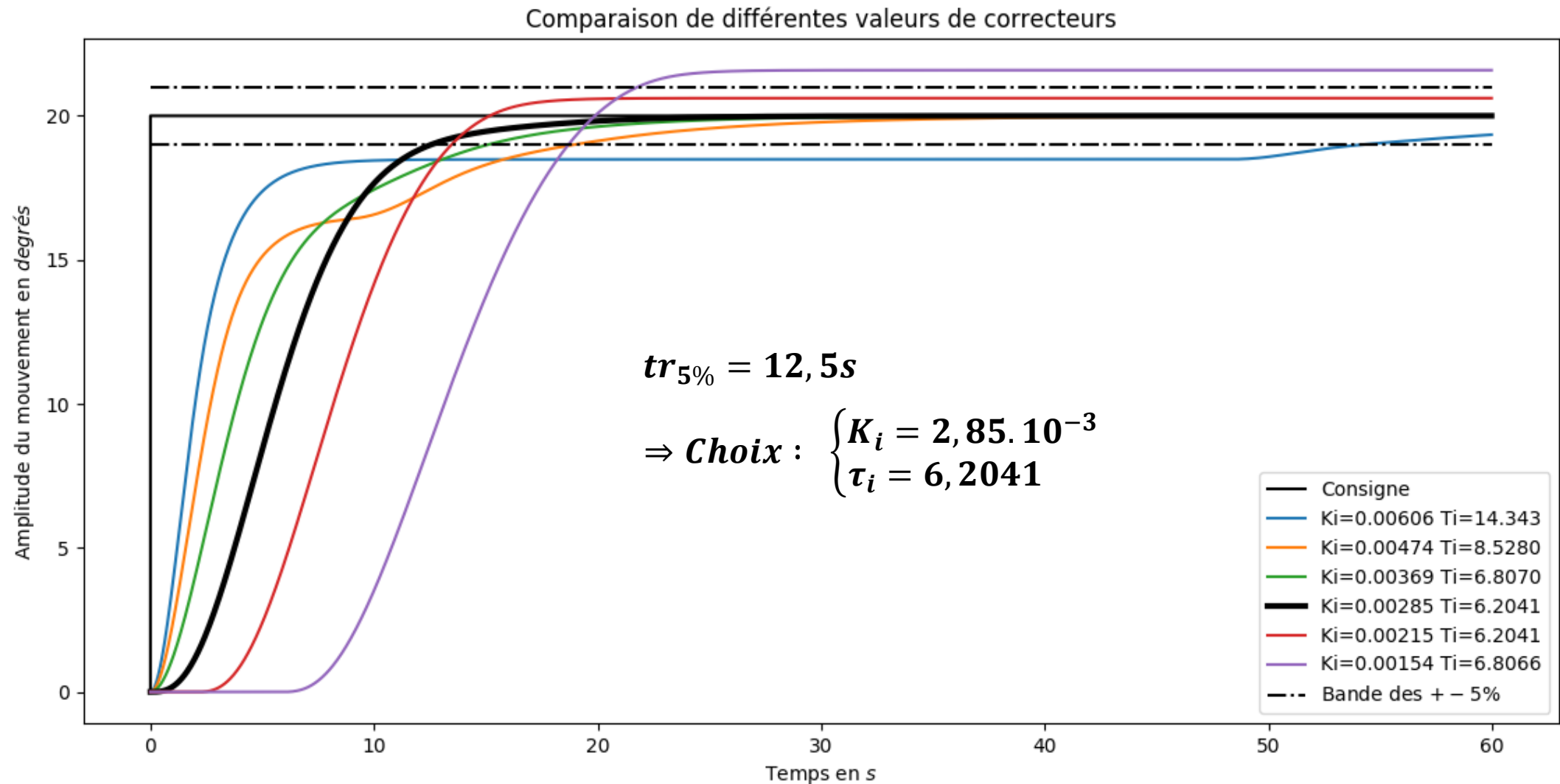
$$K_i = 10^{-\frac{GdB(H_{nc}(j\omega_{0dB,pc}))}{20}}$$

$$K_i \in [1,54 \cdot 10^{-3}; 6,07 \cdot 10^{-3}]$$

$$M\varphi_c = \arctan(\tau_i \omega) - \arctan\left(\frac{R \cdot J}{K_e^2 + R \cdot f} \cdot \omega\right)$$

$$\tau_i \in [6,41; 14,34] \text{ s}$$

II) Pointage de la position



II) Pointage de la position : Implémentation dans l'Arduino

//Définition des paramètres du correcteur

`float Ki=0.00285;`

`float Ti=6.2041;`

`void asser(){`

`angle=calcule_angle();`

`float ecart=consigne-angle;`

//Correcteur PI numérique

`P = Ki*ecart*Kadapt;`

`I = I + Ki *Kadapt* dt * ecart/Ti`

`commande= P + I;`

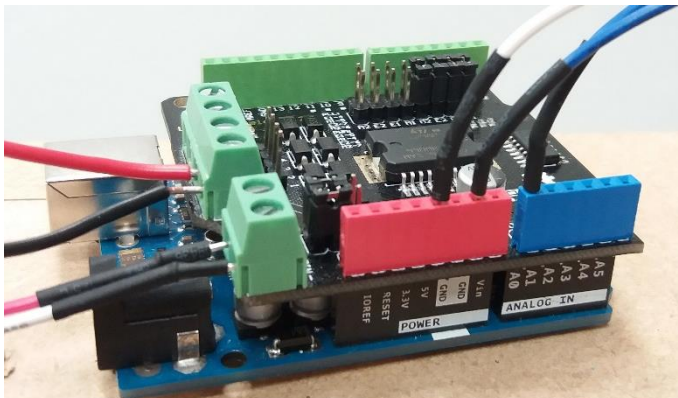
//Saturation

//Commande du moteur

`Moteur(commande, Valim);`

`temps += dt;`

`}`



`void Moteur(double commande, double Valim) {`

`int tension_int;`

//0/12V-->0/255

`tension_int = (int)(255*(commande/Valim));`

//PWM

`if (tension_int>=0) {`

`digitalWrite(4, LOW); //Un sens`

`analogWrite(5, tension_int);`

`}`

`if (tension_int<0) {`

`digitalWrite(4, HIGH); //L'autre sens`

`analogWrite(5, -tension_int);`

`}`

`}`

`float calcule_angle(){`

`int ValeurPotent = zero - analogRead(pinpotent);`

`float tension = (float(ValeurPotent) * 5.0) / 1023;`

`float R = (Rtot * tension) / utot;`

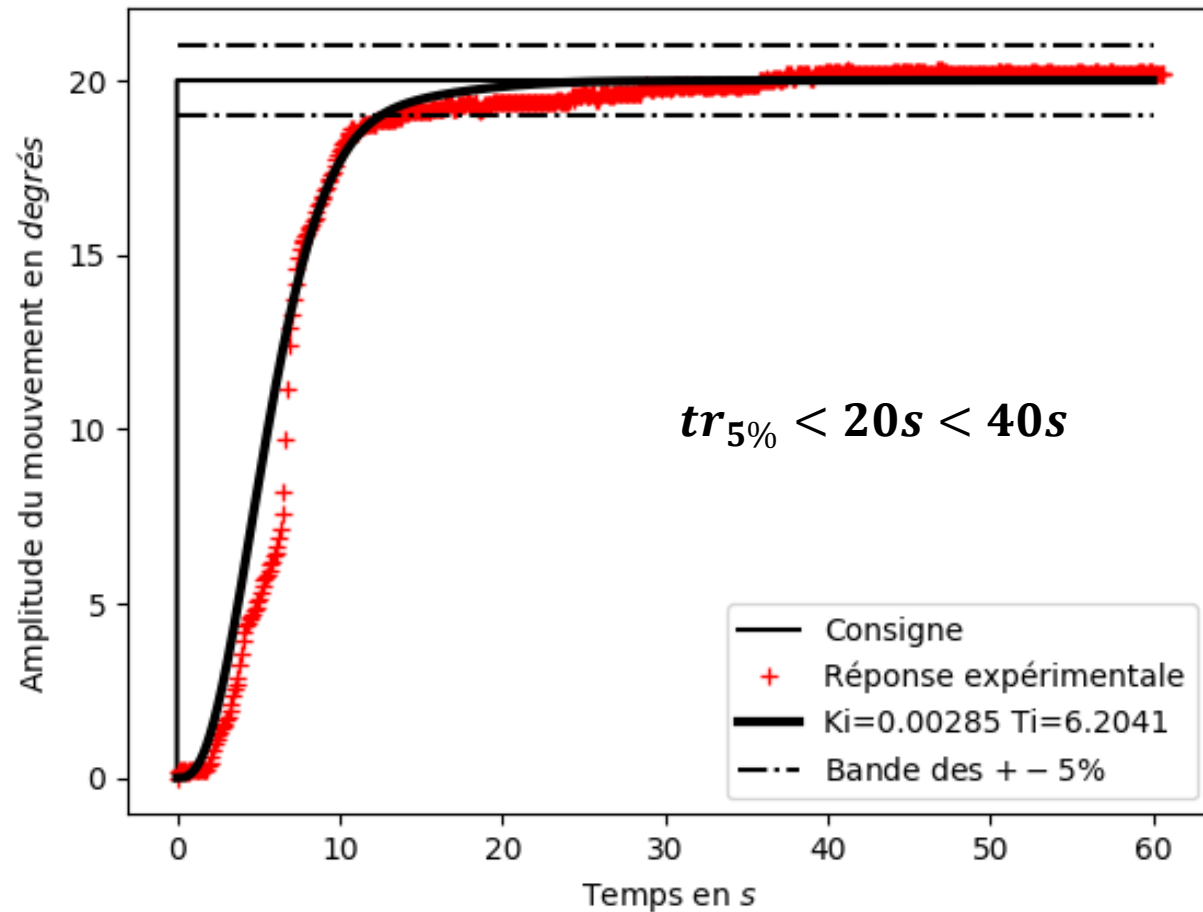
`float angle = (R / 18.09);`

`return angle;`

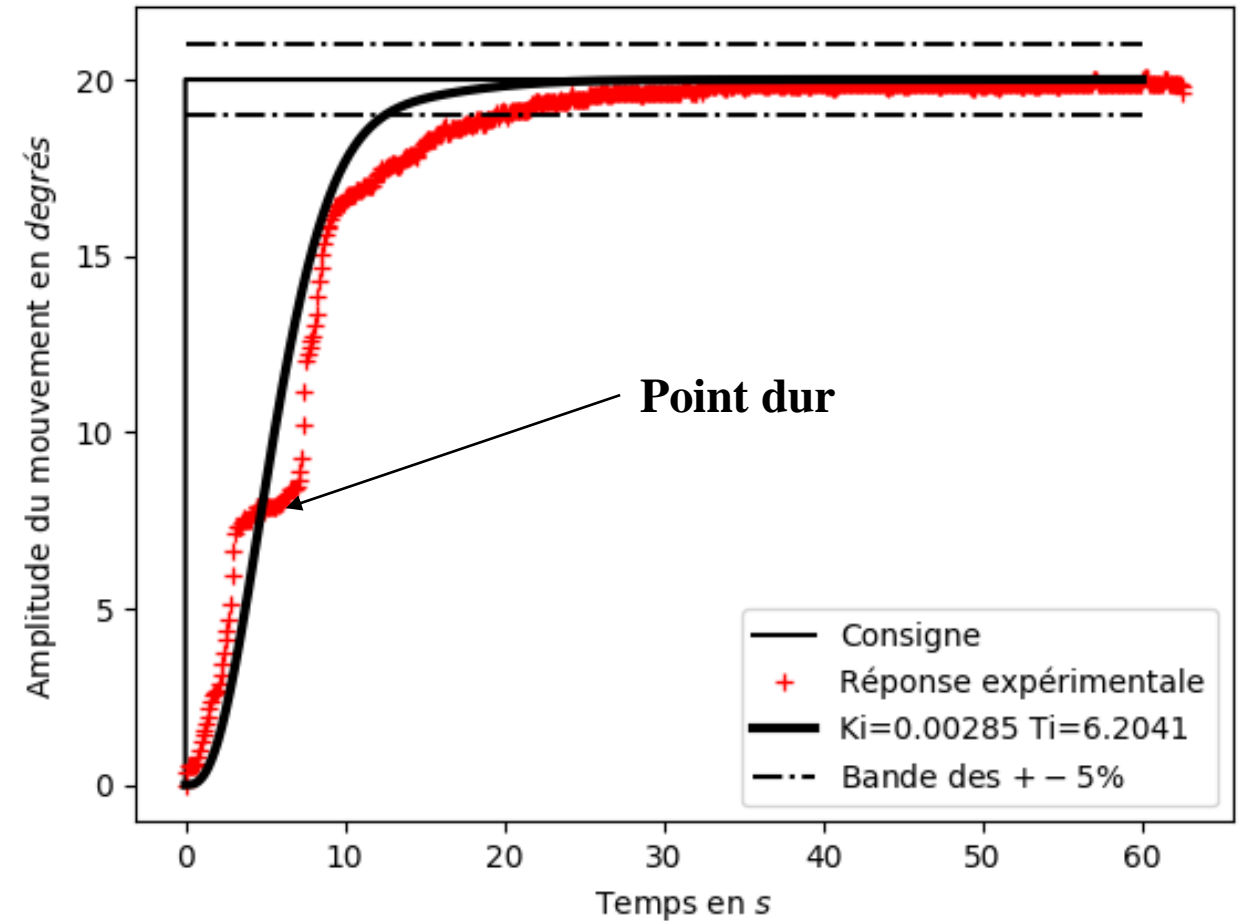
`}`

II) Pointage de la position : Résultats et limites de l'étude

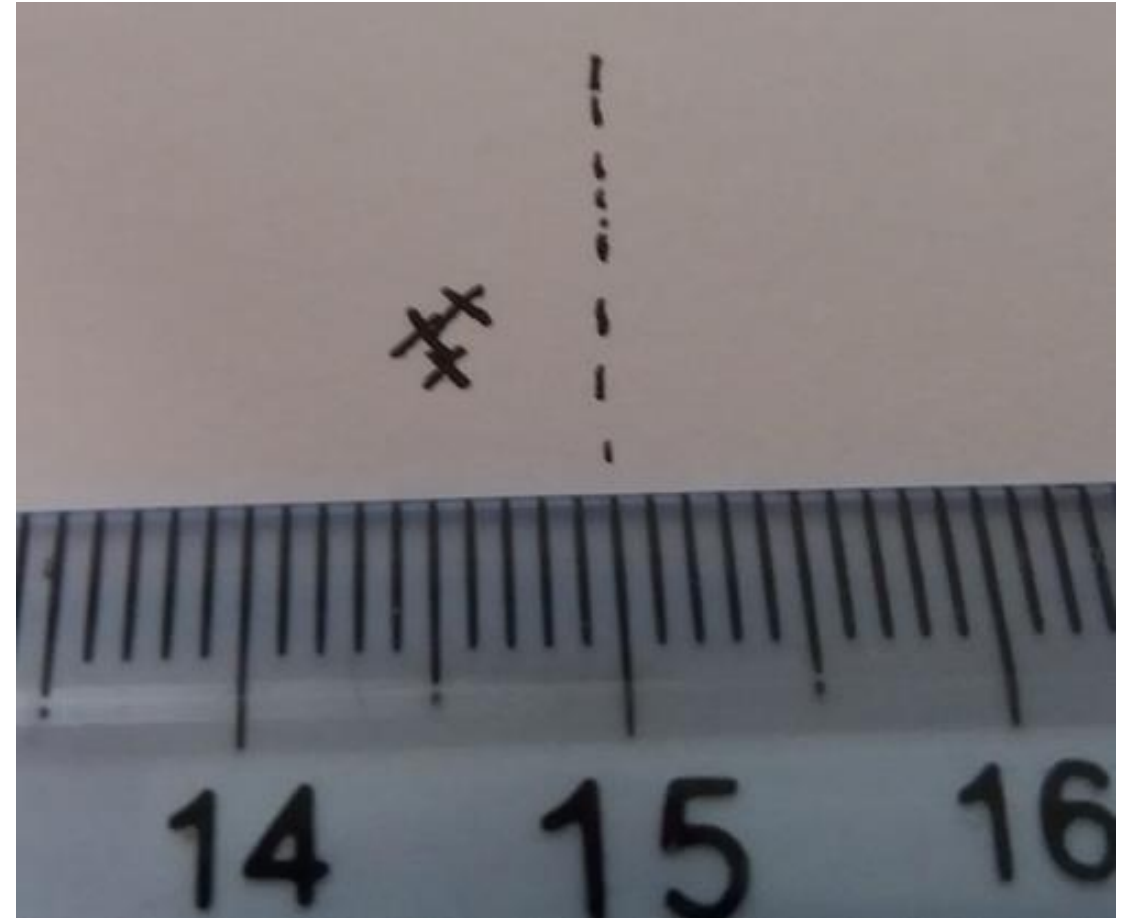
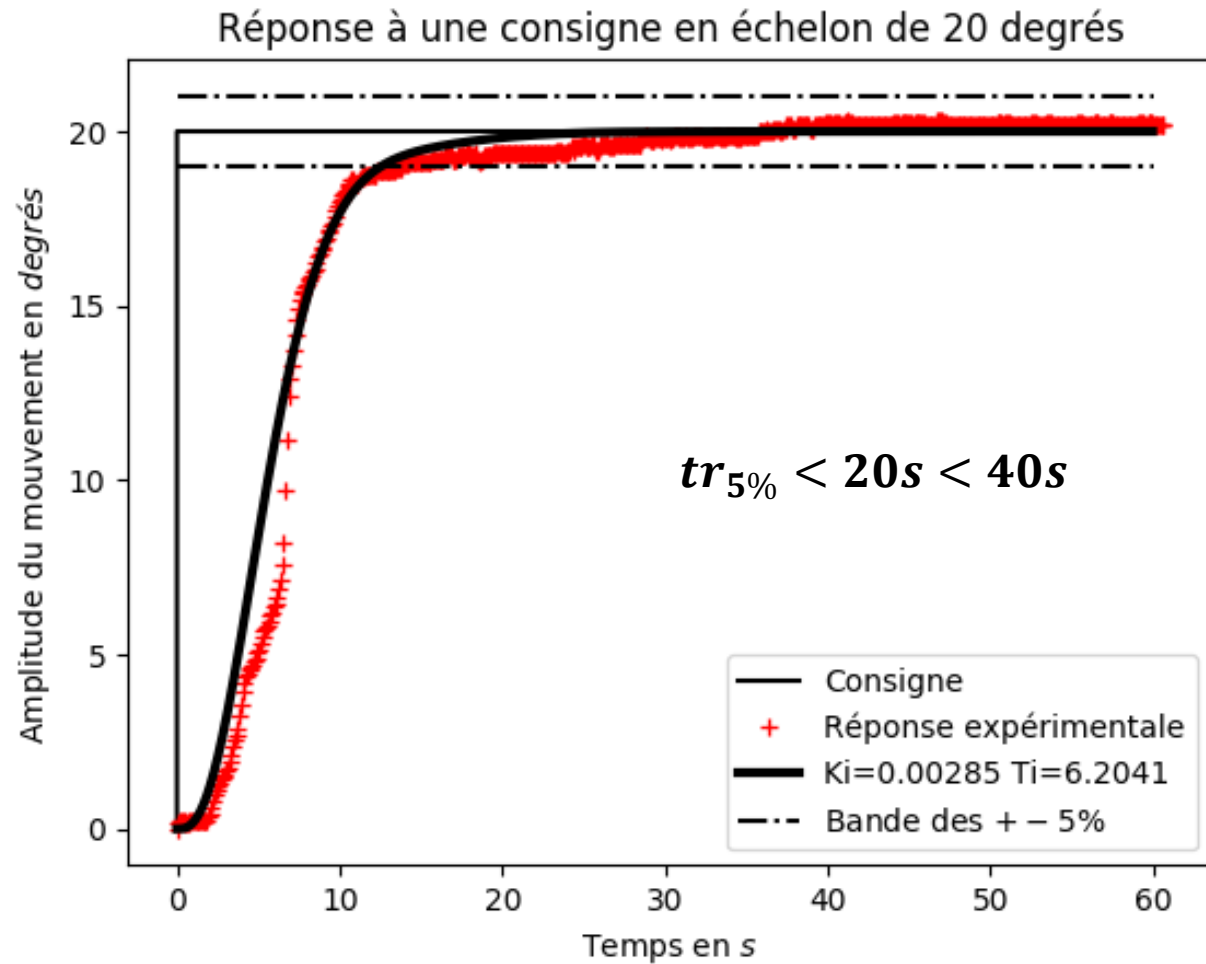
Réponse à une consigne en échelon de 20 degrés



Réponse à une consigne en échelon de 20 degrés

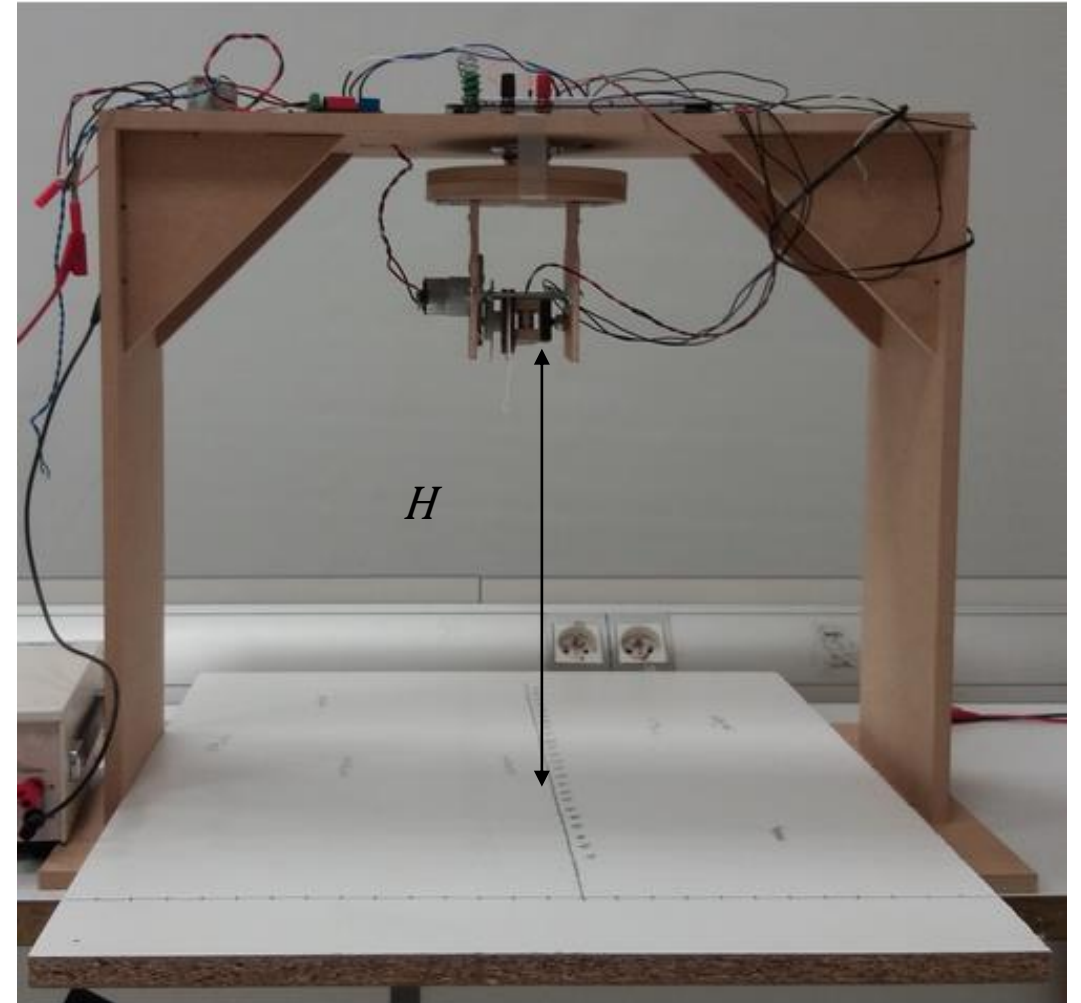
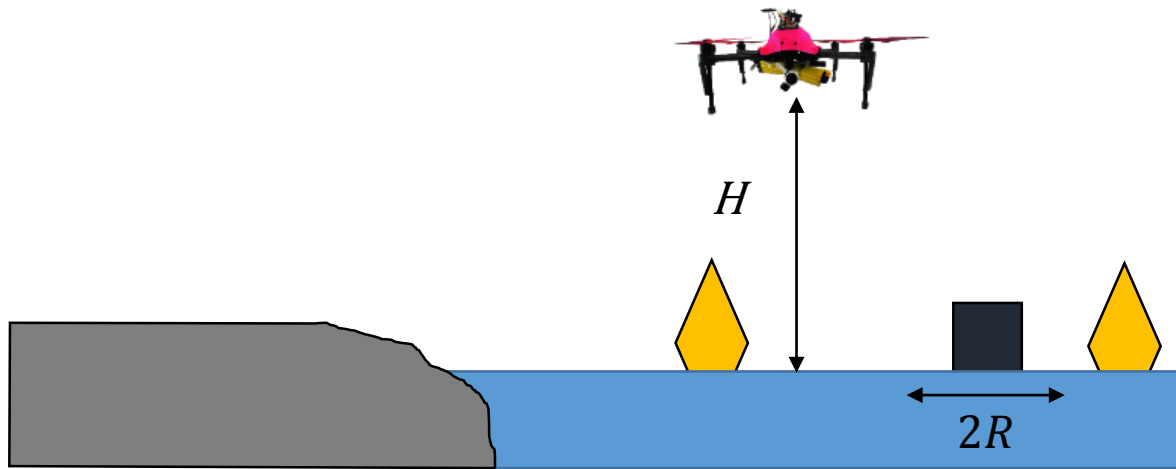


II) Pointage de la position : Résultats et limites de l'étude



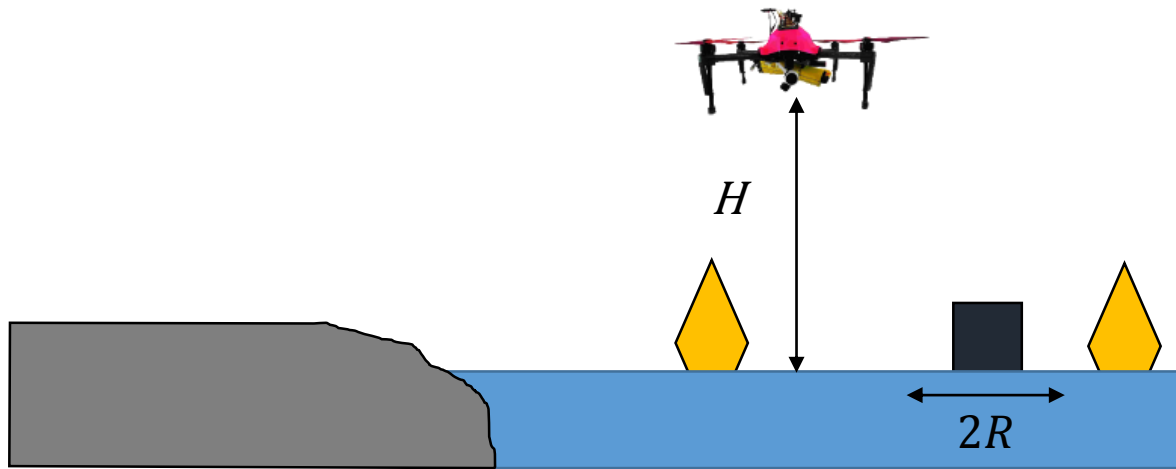
$$Ecart \leq 0,5 \text{ cm}$$

Conclusion: Objectif

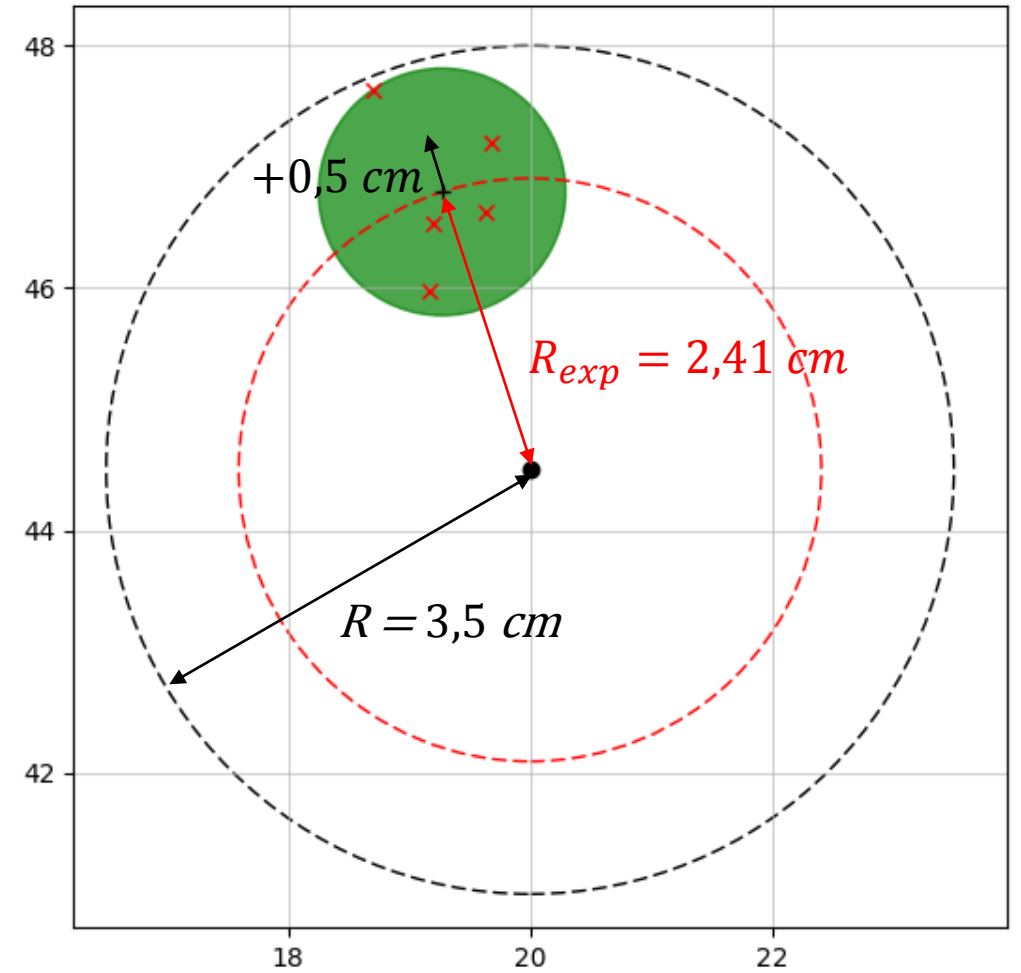


Situation réelle	Modélisation
$H = 5 \text{ m}$	$H = 35 \text{ cm}$
$R = 50 \text{ cm}$	$R = 3,5 \text{ cm}$

Conclusion: Objectif



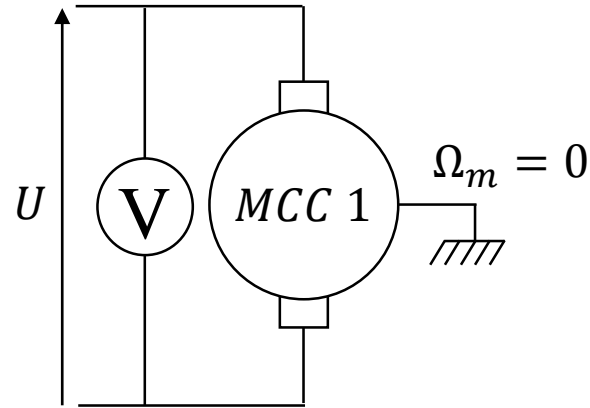
Situation réelle	Modélisation
$H = 5 \text{ m}$	$H = 35 \text{ cm}$
$R = 50 \text{ cm}$	$R = 3,5 \text{ cm}$



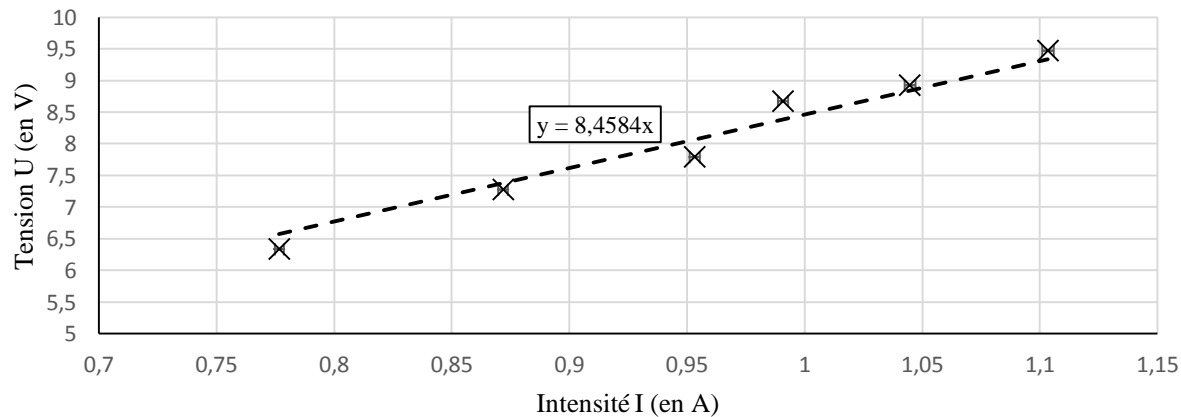
Annexe 1

Détermination de R

$$U(t) = R \cdot I(t)$$

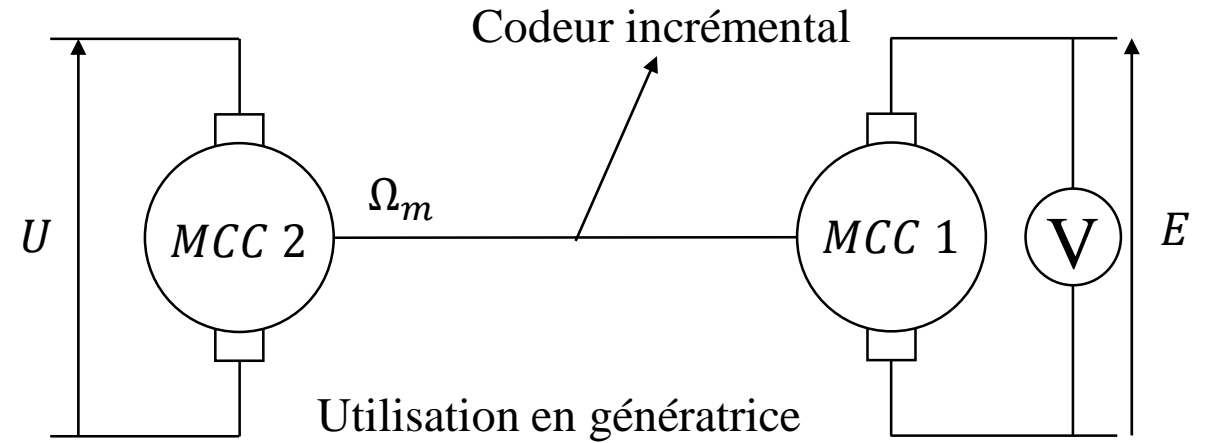


Tension en fonction de l'intensité

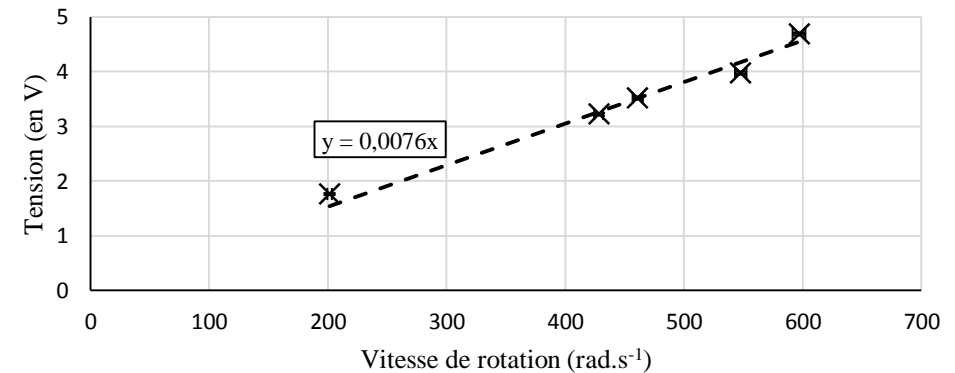


Détermination de K_e

$$U(t) = E(t) = K_e \cdot \Omega_m(t)$$



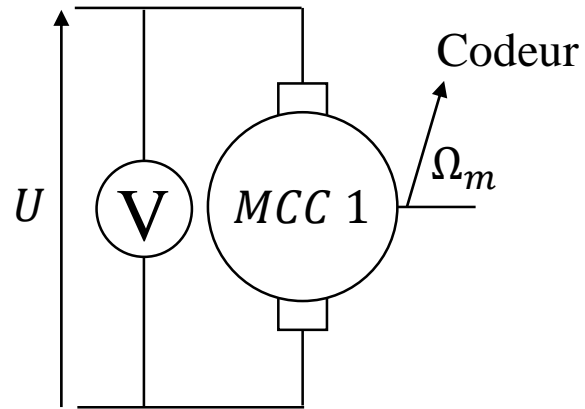
Tension en fonction de la vitesse de rotation au niveau de l'arbre moteur



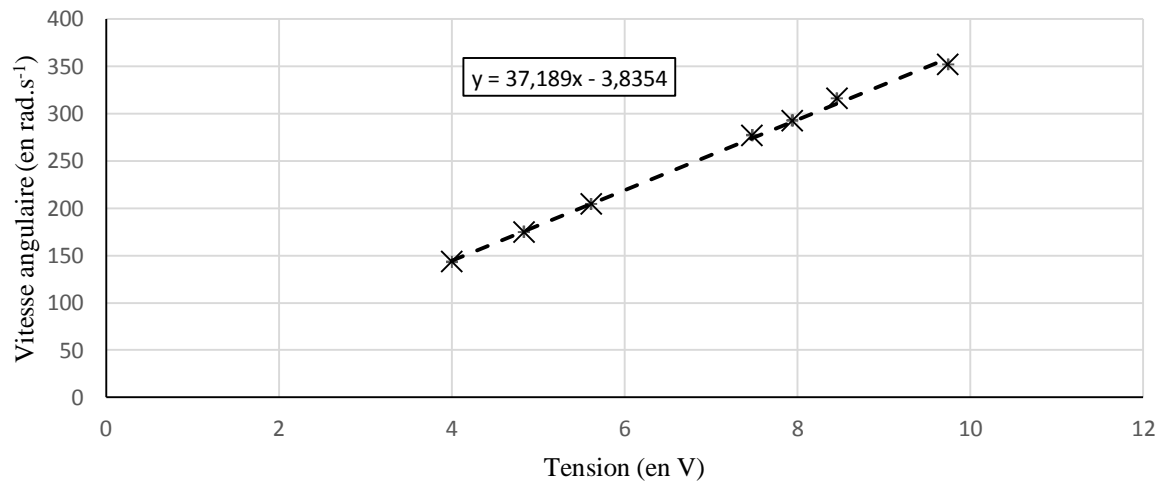
Annexe 1

Détermination de f

$$\frac{U(t)}{\Omega_m(p)} = \frac{\frac{K_e}{K_e^2 + R.f}}{1 + \frac{R.J}{K_e^2 + R.f}p}$$



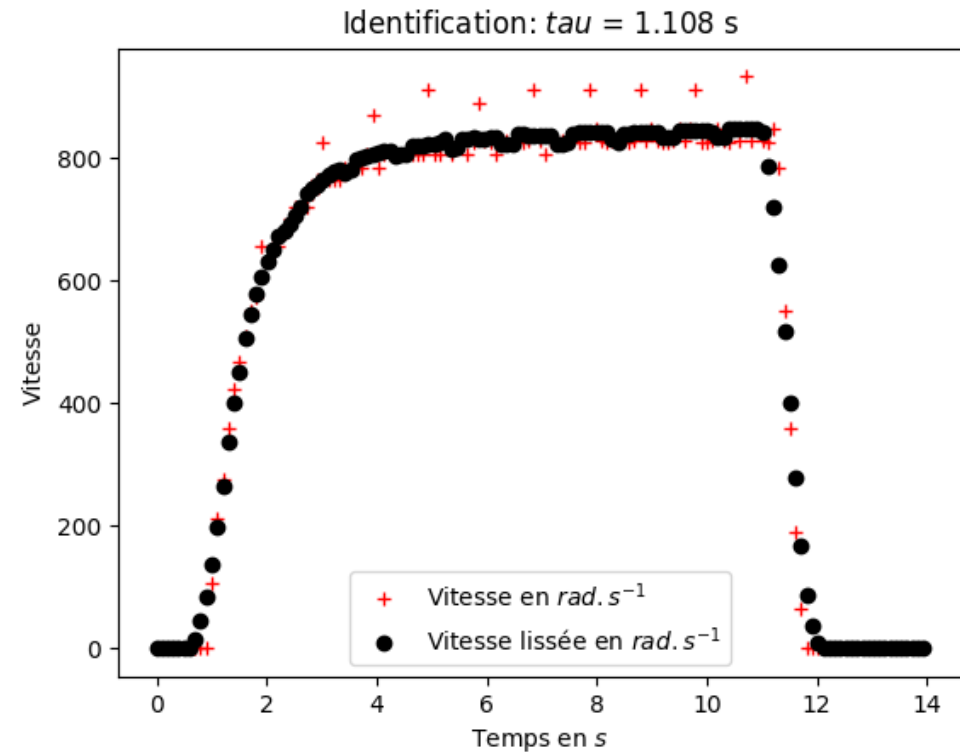
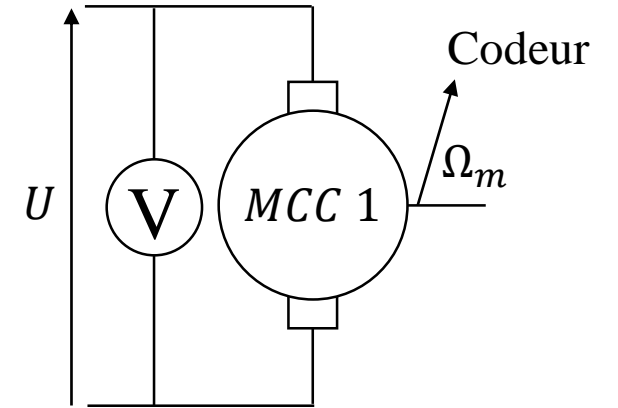
Vitesse angulaire en fonction de la tension au bornes du moteur
(utilisation en moteur)



Détermination de J

$$\tau = \frac{R.J}{K_e^2 + R.f}$$

$$J = \frac{\tau \cdot (K_e^2 + R.f)}{R}$$



Annexe 2: Résolution du système

```
import numpy as np
from scipy.optimize import fsolve
from math import sqrt
```

vitesse = 55151.9075366 #Valeur en cm/s de la vitesse des ondes dans le solide

X1,y1 = 5,25

X2,y2 = 30,52

X3,y3 = 55,25

#Coordonnées des différents capteurs (capteur 1 = EA0, capteur 2 = EA1, capteur 3 = EA2)

```
def temps_seuil(liste) : #Retourne l'indice correspondant au temps de début d'acquisition du
signal
    j = 0
    while abs(liste[j]) < 0.01 :
        j = j+1
    return j
```

```
def recupere_donnees() :
    global temps_1_recu, temps_2_recu, temps_3_recu, amplitude_1_recu, amplitude_2_recu,
amplitude_3_recu
    donnees = np.loadtxt("Point2_1.txt", skiprows = 1)
    temps_1_recu = donnees[:,0] #Liste associée au temps du capteur 1
    temps_2_recu = donnees[:,2] #Liste associée au temps du capteur 2
    temps_3_recu = donnees[:,4] #Liste associée au temps du capteur 3
    amplitude_1_recu = donnees[:,1] #Liste associée à l'amplitude reçue par le capteur 1
    amplitude_2_recu = donnees[:,3] #Liste associée à l'amplitude reçue par le capteur 2
    amplitude_3_recu = donnees[:,5] #Liste associée à l'amplitude reçue par le capteur 3

    temps_deb_1 = temps_1_recu[temps_seuil(amplitude_1_recu)]
    temps_deb_2 = temps_2_recu[temps_seuil(amplitude_2_recu)]
    temps_deb_3 = temps_3_recu[temps_seuil(amplitude_3_recu)]
    return temps_deb_1, temps_deb_2, temps_deb_3
```

T1, T2, T3 = recupere_donnees()

D1 = vitesse*T1

D2 = vitesse*T2

D3 = vitesse*T3

```
def f(L) : #L est la liste contenant les coordonnées du point recherché : L élément de R**2
x,y = L[0],L[1]
return [ sqrt((x-x3)**2 + (y-y3)**2) - sqrt((x-x1)**2 + (y-y1)**2) - (D3-D1),
        sqrt((x-x3)**2 + (y-y3)**2) - sqrt((x-x2)**2 + (y-y2)**2) - (D3-D2) ]
```

```
coordonnées = fsolve(f,[25,25])
print(coordonnées)
```

Annexe 3: Asservissement

```
#include <digitalWriteFast.h>
#include <FlexiTimer2.h>
/***** Définition des pins *****/
#define pinpotent A0
#define PWMA 5
#define DIRA 4

/***** Consigne *****/
float consigne = 20;//en degrés

/***** Définition des paramètres du correcteur *****/
float Ki=0.00285;
float Ti=6.2041;

/***** Définition des constantes *****/
static double Umax=11.0;
static double Umin=-11.0;
double Valim = 11.0;// Tension d'alimentation
float zero;
float Kadapt=15.55;
float Rtot=4743;
float utot=4.893;
static double angle; // Angle du laser par rapport à la position de référence
static double commande = 0.; // commande en tension calculée par le PID
static double commande_avant_sat = 0.;
static double P = 0.; // Contient la valeur du terme proportionnel
static double I = 0.; // Valeur du terme intégral
```

```
/***** Définition de la cadence *****/
#define Cad 10
volatile double dt = Cad/1000.;
volatile double temps = -Cad/1000.;

#define TpsDonnees 100//Temps entre deux envois de données
unsigned long tempsEnvoi = 0;
unsigned long tempsReel= 0;

void setup() { //S'exécute une seule fois
    delay(2000);//délai de 2s permettant de positionner la référence/ouvrir le moniteur série...
    Serial.begin(9600);//Début de la communication Arduino --> Ordinateur
    pinMode(DIRA, OUTPUT);//DIRA --> voir Datasheet L298P
    pinMode(PWMA, OUTPUT);//PWMA

    zero=analogRead(pinpotent);//Pose la référence de position du potentiomètre

    FlexiTimer2::set(Cad, 1/1000., asser); // Exécution de la fonction asser à une cadence très régulière
    FlexiTimer2::start();
}

void loop() {
    // Effectuée en boucle
    ecritureDonnees();//Envoie les données à l'ordinateur dès que possible (voir fonction)
}
```

Annexe 3: Asservissement

```
float calcule_angle(){
    // calcule l'angle à partir des données lues sur le potentiomètre
    int ValeurPotent = zero - analogRead(pinpotent);
    float tension = (float(ValeurPotent) * 5.0) / 1023; // Tension en V
    float R = (Rtot * tension) / utot; // Pont diviseur de tension
    float angle = (R / 18.09); // angle en degrés
    return angle;
}

void asser(){
    angle = calcule_angle(); // calcul de l'angle
    float ecart = consigne - angle; // calcul de l'écart:

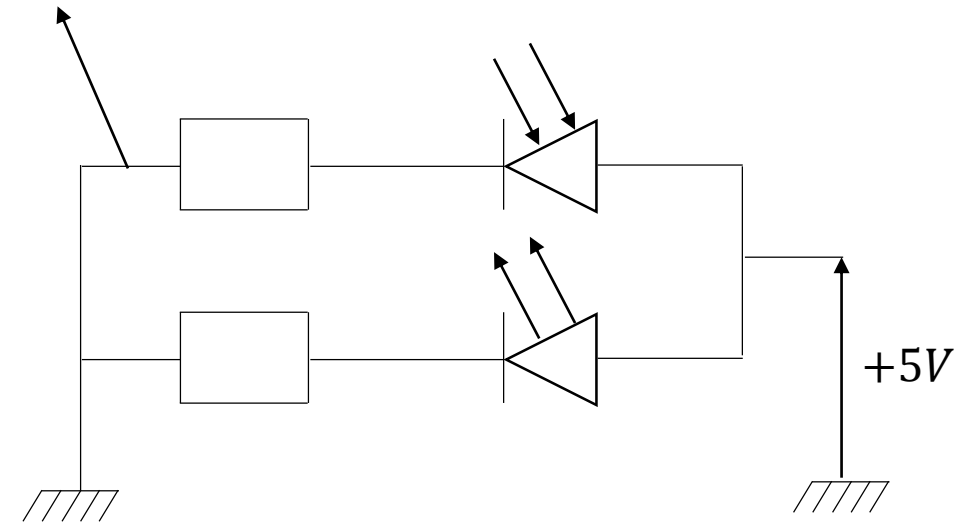
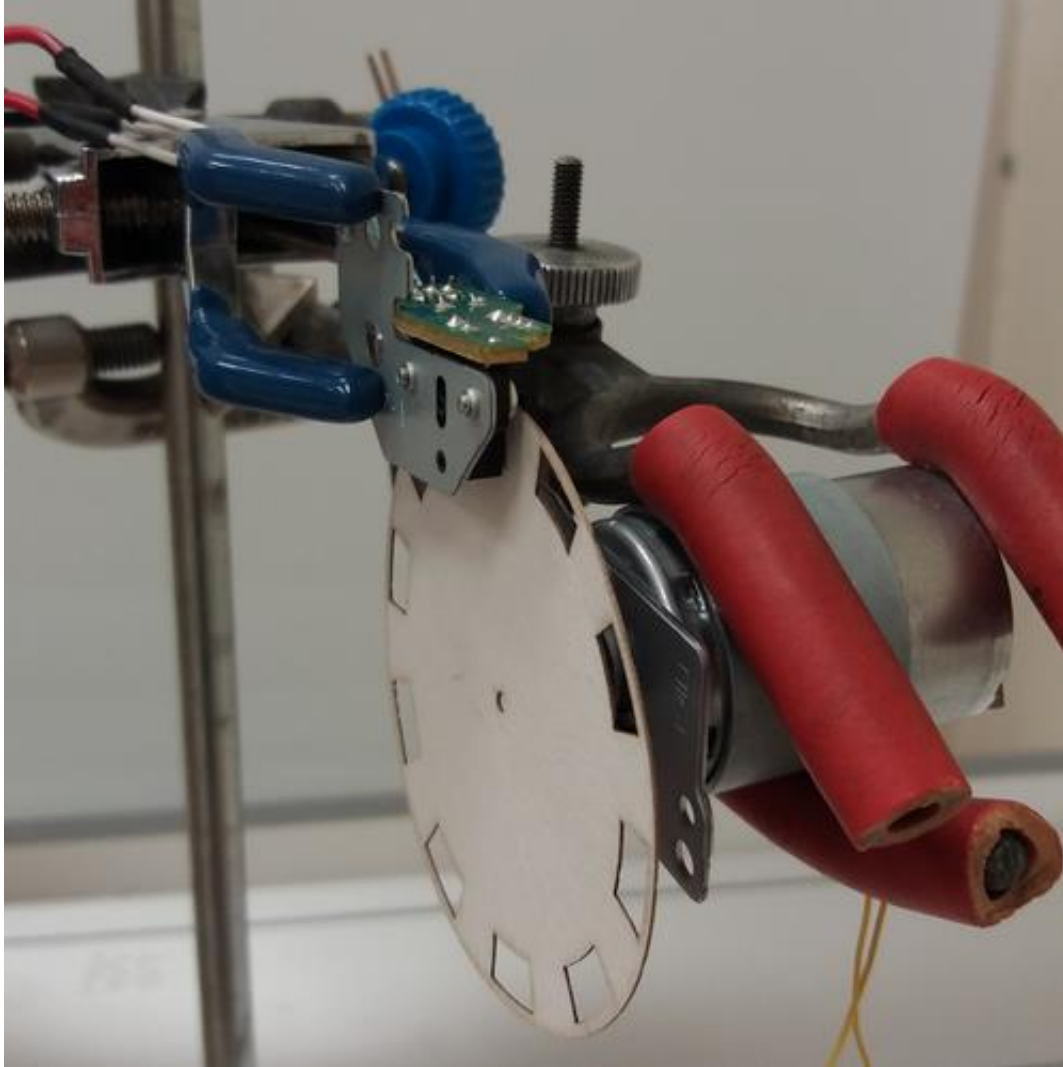
    /***** Correcteur PI *****/
    P = Ki * ecart * Kadapt; // Terme proportionnel
    commande_avant_sat = P + I;
    if (commande_avant_sat > Umax) {
        commande = Umax;
    }
    else if (commande_avant_sat < Umin) {
        commande = Umin;
    }
    else {
        commande = commande_avant_sat;
    }

    I = I + Ki * Kadapt * dt * ecart / Ti
    /***** Fin du PI *****/
    Moteur(commande, Valim); // Commande du moteur
    temps += dt; // Augmentation de la variable temps de dt
}
```

```
void Moteur(double commande, double Valim) {
    // Gère le contrôle du moteur
    int tension_int;
    // Normalisation de la tension d'alimentation par rapport à la tension d'alimentation : 0/12V-->0/255
    tension_int = (int)(255 * (commande * 5 / Valim));
    // Saturation
    if (tension_int > 255) {
        tension_int = 255;
    }
    if (tension_int < -255) {
        tension_int = -255;
    }
    // Commande du moteur en réglant le rapport cyclique (Pulse Width Modulation)
    if (tension_int >= 0) {
        digitalWrite(4, LOW); // Un sens
        analogWrite(5, tension_int);
    }
    if (tension_int < 0) {
        digitalWrite(4, HIGH); // L'autre sens
        analogWrite(5, -tension_int);
    }
}

void ecritureDonnees(void) {
    // Ecriture des données si la durée depuis la dernière écriture est supérieure à TpsDonnees
    // pour limiter l'utilisation de ressource.
    tempsReel = millis(); // fonction millis donne le temps écoulé depuis le démarrage de la carte
    if (tempsReel - tempsEnvoi > TpsDonnees) { // Envoi seulement si un intervalle de temps est dépassé
        Serial.println(String(temps) + ";" + String(commande) + ";" + String(angle));
        tempsEnvoi = tempsReel;
    }
}
```

Annexe 4: Codeur incrémental



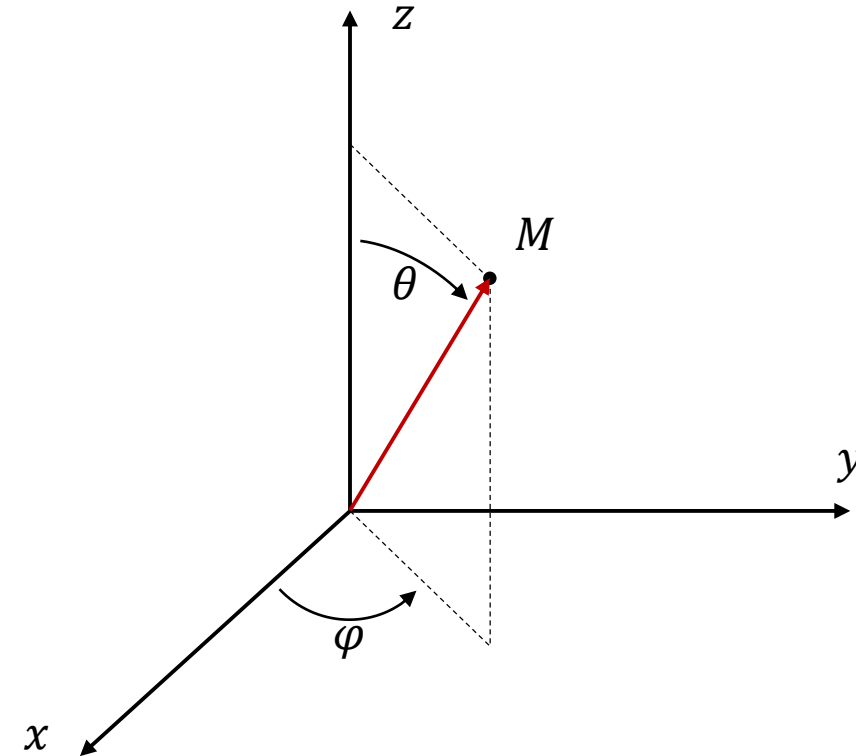
Annexe 5: Changement de base

```
from math import atan , acos  
from numpy import rad2deg
```

```
def transformation( x , y , z = 35 ):  
    r = (x**2+y**2+z**2)**0.5  
    phi = atan(y/x)  
    theta = acos(z/r)  
    return r , phi , rad2deg(theta)
```

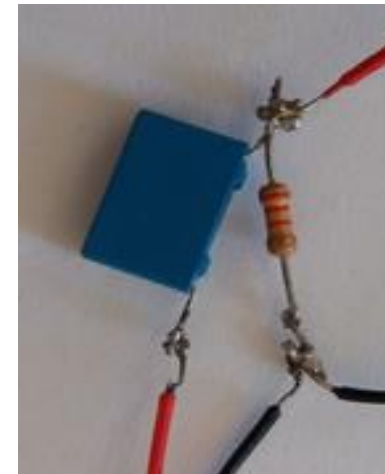
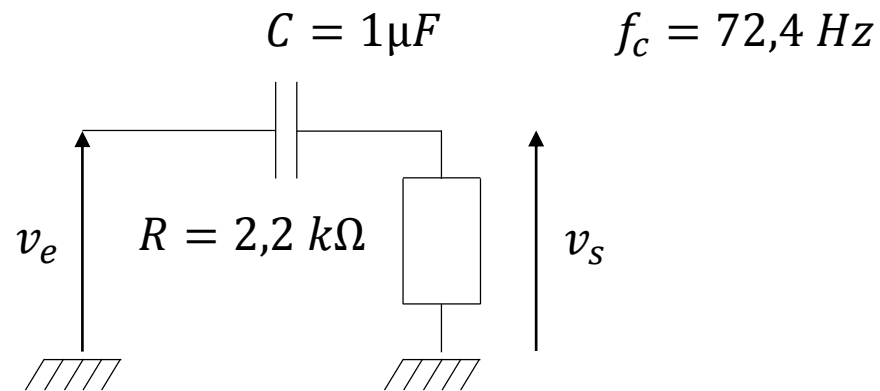
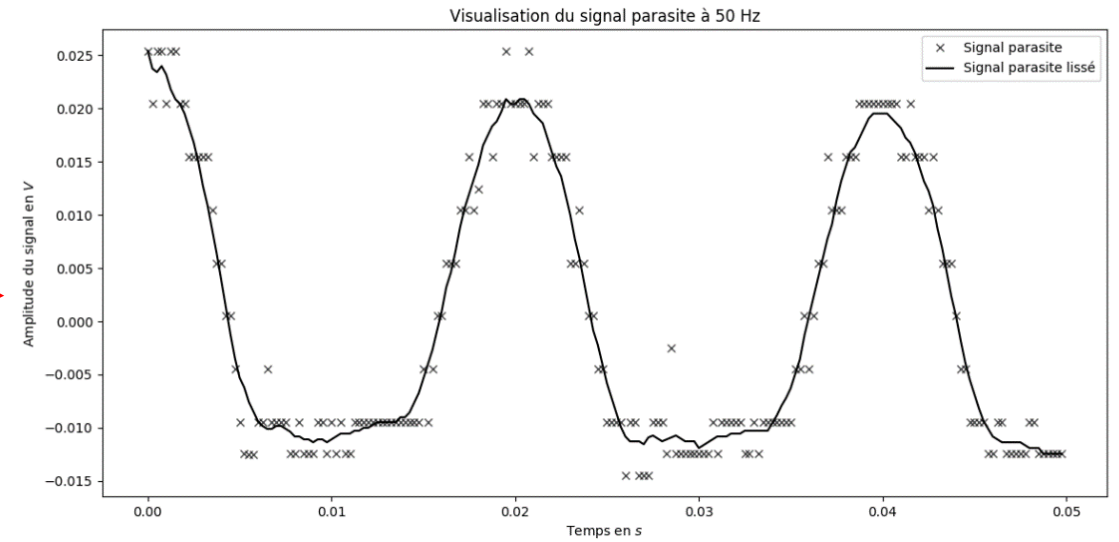
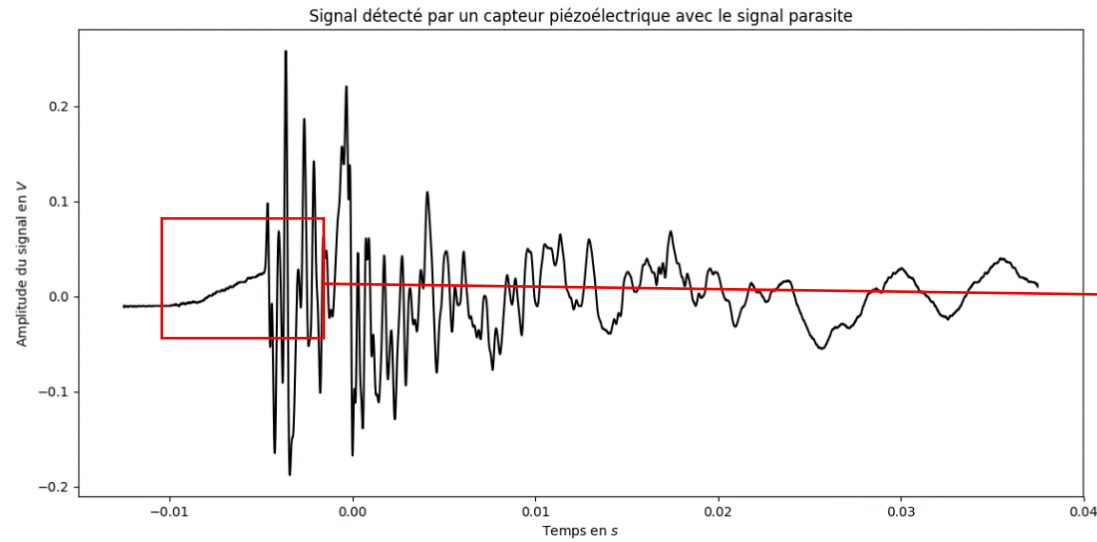
Coordonnées d'un point M :

$$\begin{cases} x = r \sin(\theta) \cos(\varphi) \\ y = r \sin(\theta) \sin(\varphi) \\ z = r \cos(\theta) \end{cases}$$

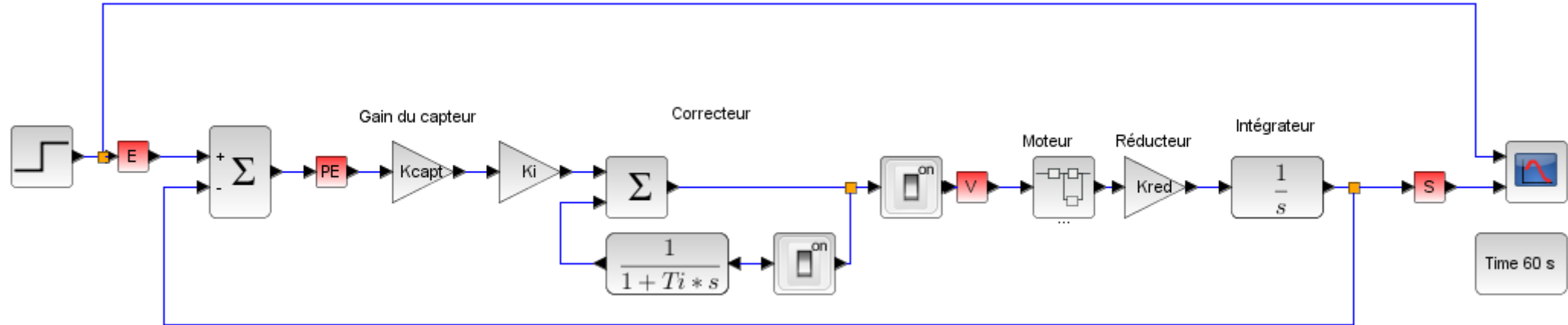


$$\Rightarrow \begin{cases} r = \sqrt{x^2 + y^2 + z^2} \\ \varphi = \text{Arctan}\left(\frac{y}{x}\right) \\ \theta = \text{Arcos}\left(\frac{z}{\sqrt{x^2 + y^2 + z^2}}\right) \end{cases}$$

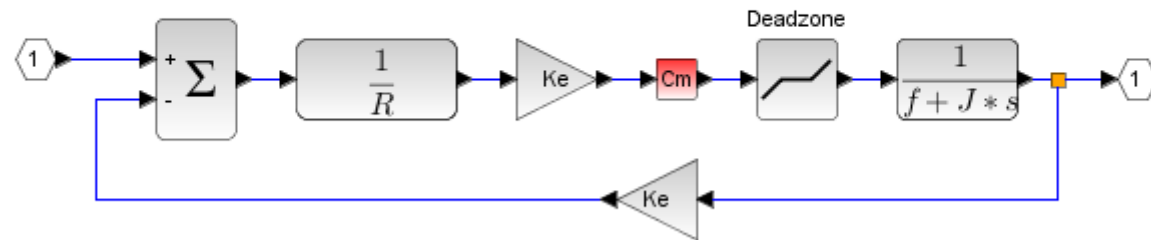
Annexe 6: Bruit à 50 Hz



Annexe 7: Modélisation Scilab



Moteur à courant continu



Annexe 8: Réponse C_r sous-estimé

